

数字信号处理

任课教师: 田春娜 (教授)

单位: 西安电子科技大学工程学院

Email: chnatian@xidian.edu.cn

chnatian@gmail.com

参考书籍



- 高新波, 阔永红, 田春娜. 数字信号处理. 高等教育出版社, 2014.
- 史林, 赵树杰. 数字信号处理. 科学出版社. 2007.
- Alan V. Oppenheim, Ronald W. Schaffer. Discrete-Time Signal Processing. 电子工业出版社, 2011.
- 高西全, 丁玉美. 数字信号处理及其习题解答. 西电出版社, 2008.
- Vinay K. Ingle, John G. Proakis. Digital Signal Processing Using MATLAB®. Northeastern University, 1996.

第3章 离散时间信号和系统的频域分析



◆ 3.1 离散时间信号的傅里叶变换 (DTFT)

- 序列的离散时间傅里叶变换
- 序列的离散时间傅里叶变换的性质
- 基本序列的离散时间傅里叶变换

◆ 3.2 离散时间信号的Z域分析

◆ 3.3 离散时间LTI系统的频域分析

◆ 3.4 离散时间LTI系统的Z域分析

引言

- ◆ 信号和系统的分析方法有两种
 - 时域分析法
 - 频率分析法
- ◆ 模拟信号与系统的时域分析
 - 以时间作为参照来观察动态世界的方法为时域分析，如股票的走势、汽车的轨迹都会随着时间发生改变。信号一般用连续变量时间 t 的函数表示，系统则用微分方程描述

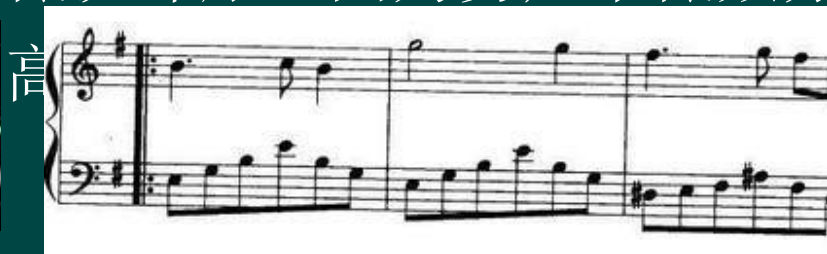


引言



◆ 模拟信号与系统的频域分析

- 在自然界，频率是有明确的物理意义的，比如声音信号：男生声音低沉浑厚，因为男声中低频分



◆ 频域分析使我们可以从另一个角度来观察和分析信号

- 用傅立叶变换将时间域函数转换到频率域，用拉普拉斯变换作为傅立叶变换的推广，对信号进行复频域分析

引言



◆ 离散时间信号和系统

- 信号用序列表示，而系统则用差分方程描述
- 频域分析是用Z变换或离散时间傅里叶变换(DTFT)
 - 离散时间傅里叶变换和模拟域中的傅里叶变换是不一样的，但都是线性变换，很多性质是类似的
 - 本章学习上述两个变换，以及LTI系统的频域和Z域分析

◆ 本章内容也是数字信号处理这一领域的基础

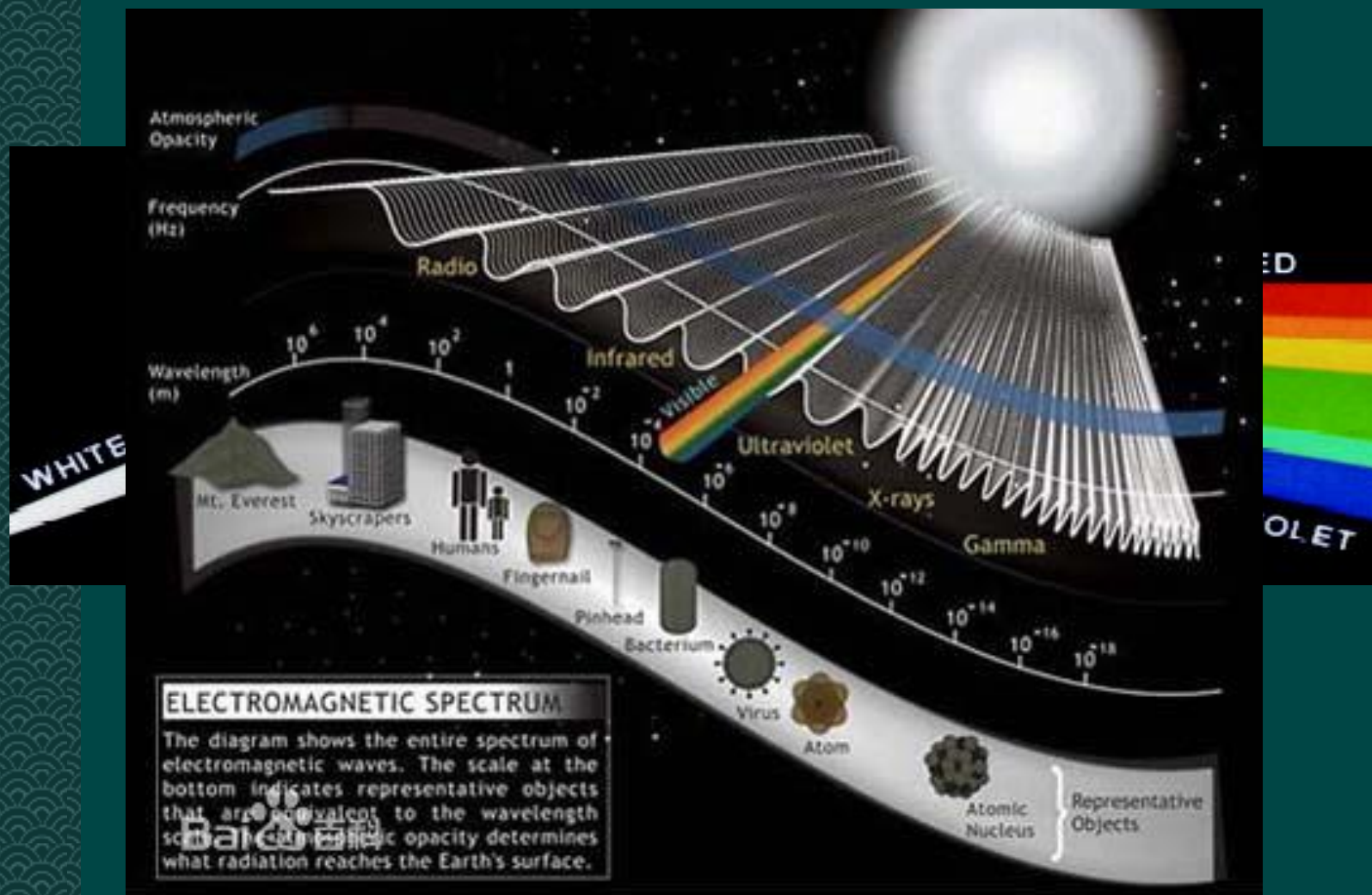
让·巴普蒂斯·约瑟夫·傅立叶



- 法国数学家和物理学家，因提出傅立叶级数及其在热传播上的应用而闻名
- 傅立叶变换和傅立叶定律为他而命名
- 傅立叶也被普遍认为温室效应的发现者

(21 March 1768 – 16 May 1830)

傅立叶变换：数学校棱镜



引言

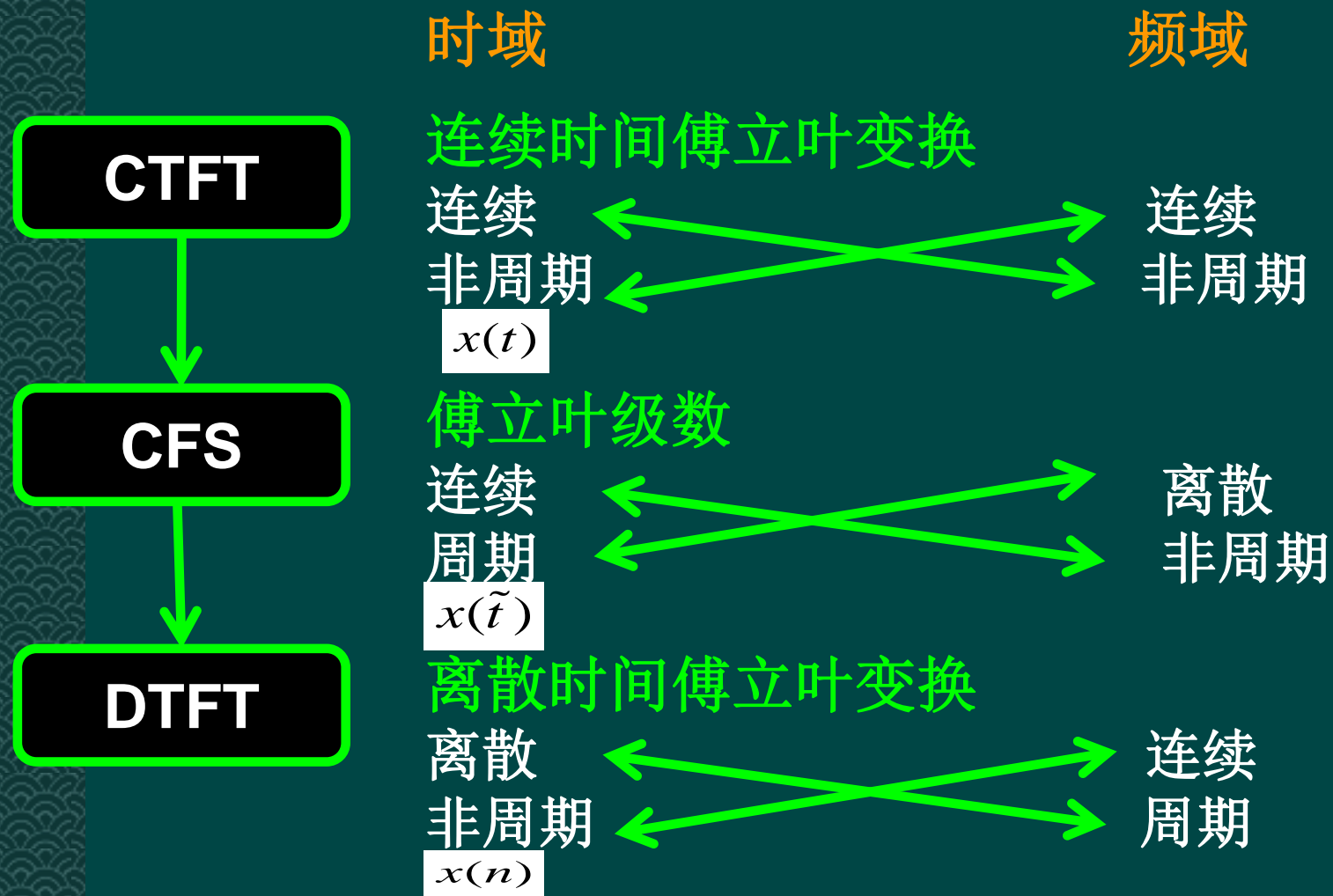
- **傅里叶变换**好用，物理意义明确，但其存在的条件苛刻，要求时域内绝对可积的信号才可能存在傅里叶变换。拉普拉斯变换推广了这一概念
- 在自然界，指数信号是衰减最快的信号之一，对信号乘上指数信号之后，很容易满足绝对可积的条件。因此将原始信号乘上指数信号之后一般都能满足傅里叶变换的条件，这种变换就是**拉普拉斯变换**
- **Z变换**可以说是针对离散信号和系统的拉普拉斯变换

第3章 离散时间信号和系统的频域分析



- ◆ 3.1 离散时间信号的傅里叶变换
 - 序列的离散时间傅里叶变换 (DTFT)
 - 序列的离散时间傅里叶变换的性质
 - 基本序列的离散时间傅里叶变换
- ◆ 3.2 离散时间信号的Z域分析
- ◆ 3.3 离散时间LTI系统的频域分析
- ◆ 3.4 离散时间LTI系统的Z域分析

历史回顾



3.1.1 序列的离散时间傅里叶变换

序列的离散时间傅里叶变换 (Discrete time Fourier transform, DTFT) 的定义

$$X(e^{j\omega}) = \sum_{n=-\infty}^{\infty} x(n)e^{-j\omega n} \quad (3.1.1)$$

DTFT成立的充分必要条件是序列 $x(n)$ 满足绝对可和:

$$\sum_{n=-\infty}^{\infty} |x(n)| < \infty$$

3.1.1 序列的离散时间傅里叶变换

为求**DTFT的反变换**，用 $e^{j\omega m}$ 乘(3.1.1)式两边，并在 $-\pi \sim \pi$ (ω 的一个周期)内对 ω 进行积分，得

$$\begin{aligned}\int_{-\pi}^{\pi} X(e^{j\omega}) e^{j\omega m} d\omega &= \int_{-\pi}^{\pi} \left[\sum_{n=-\infty}^{\infty} x(n) e^{-j\omega n} \right] e^{j\omega m} d\omega \\ &= \sum_{n=-\infty}^{\infty} x(n) \int_{-\pi}^{\pi} e^{j\omega(m-n)} d\omega \quad (3.1.3)\end{aligned}$$

式中

$$\begin{aligned}\int_{-\pi}^{\pi} e^{j\omega(m-n)} d\omega &= \int_{-\pi}^{\pi} \overset{\text{欧拉公式}}{\cos[\omega(m-n)] + j \sin[\omega(m-n)]} d\omega \\ &= \begin{cases} 2\pi & m-n=0 \\ 0 & \text{else} \end{cases} \\ &= 2\pi \delta(m-n) \quad (3.1.4)\end{aligned}$$

3.1.1 序列的离散时间傅里叶变换

将(3.1.4)带入(3.1.3)得：

$$\int_{-\pi}^{\pi} X(e^{j\omega}) e^{j\omega m} d\omega = 2\pi \sum_{n=-\infty}^{\infty} x(n) \delta(n-m) = 2\pi x(m) \quad (3.1.5)$$

由(3.1.5) 得如下逆变换的公式，记为IDTFT

$$x(n) = \frac{1}{2\pi} \int_{-\pi}^{\pi} X(e^{j\omega}) e^{j\omega n} d\omega \quad (3.1.6)$$

3.1.1 序列的离散时间傅里叶变换

对比分析

DTFT: $X(e^{j\omega}) = F[x(n)] = \sum_{n=-\infty}^{+\infty} x(n)e^{-j\omega n}$

IDTFT: $x(n) = F^{-1}[X(e^{j\omega})] = \frac{1}{2\pi} \int_{-\pi}^{+\pi} X(e^{j\omega})e^{j\omega n} d\omega$

时域

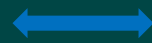
频域

离散



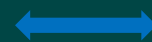
连续

实值/复值



复值

加和



积分

n 的取值范围:
 $-\infty \sim +\infty$



ω 的取值范围:
 $-\pi \sim +\pi$

3.1.1 序列的离散时间傅里叶变换

例 3.1.1 求如下 $x(n)$ 的离散时间傅立叶变换，如果存在，请画出其频域信号

$$x(n) = (0.5)^n u(n)$$

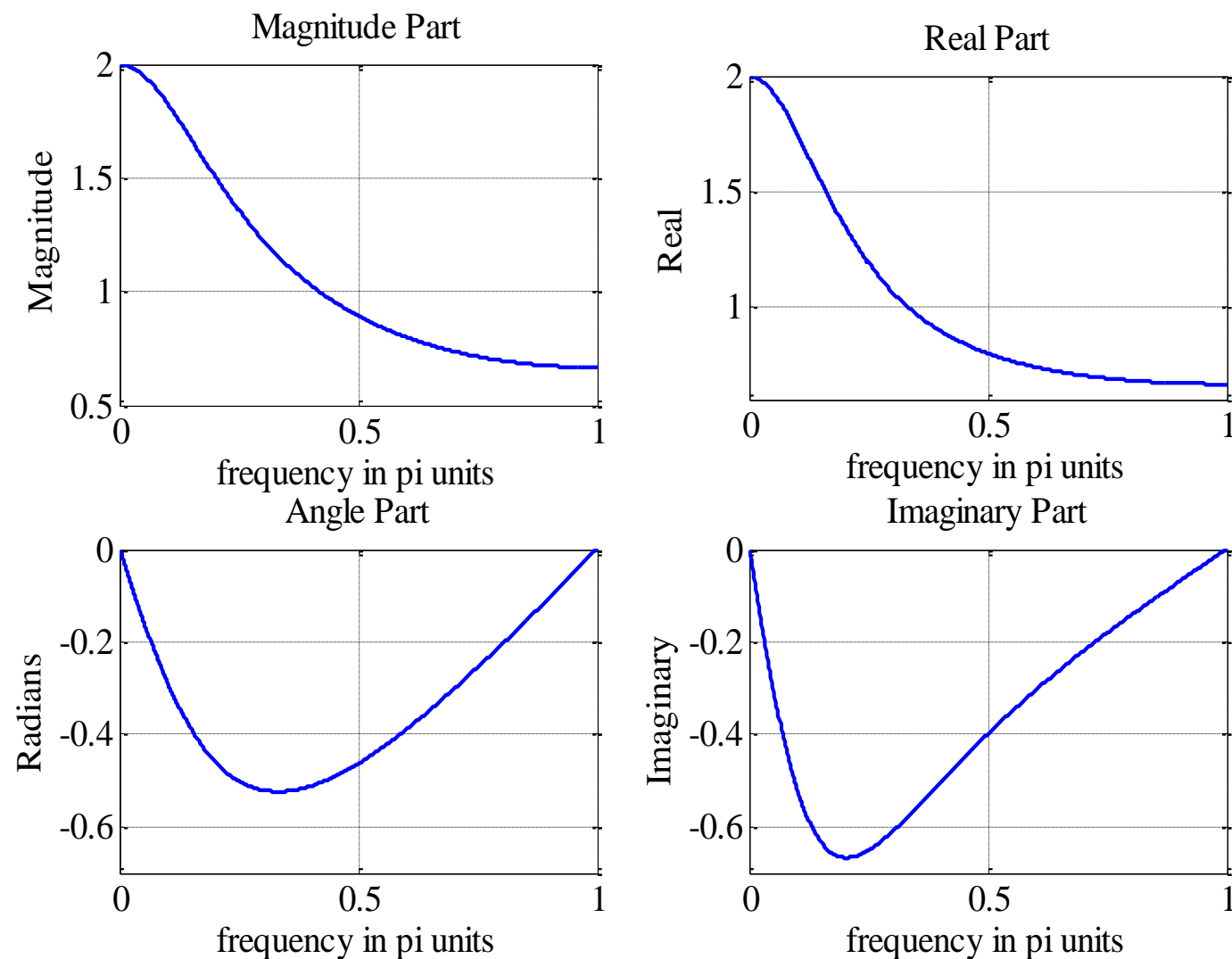
3.1.1 序列的离散时间傅里叶变换



$$x(n) = (0.5)^n u(n) \quad X(e^{j\omega}) = \frac{e^{j\omega}}{e^{j\omega} - 0.5}$$

- 我们在 $[0, \pi]$ 之间取 $X(e^{j\omega})$ 等间隔的**501** 个点，并画出其幅度、相角、实部和虚部
- $X(e^{j\omega})$ 有两种表示方法
 - 实部、虚部
 - 幅度谱、相位谱

3.1.1 序列的离散时间傅里叶变换



3.1.1 序列的离散时间傅里叶变换

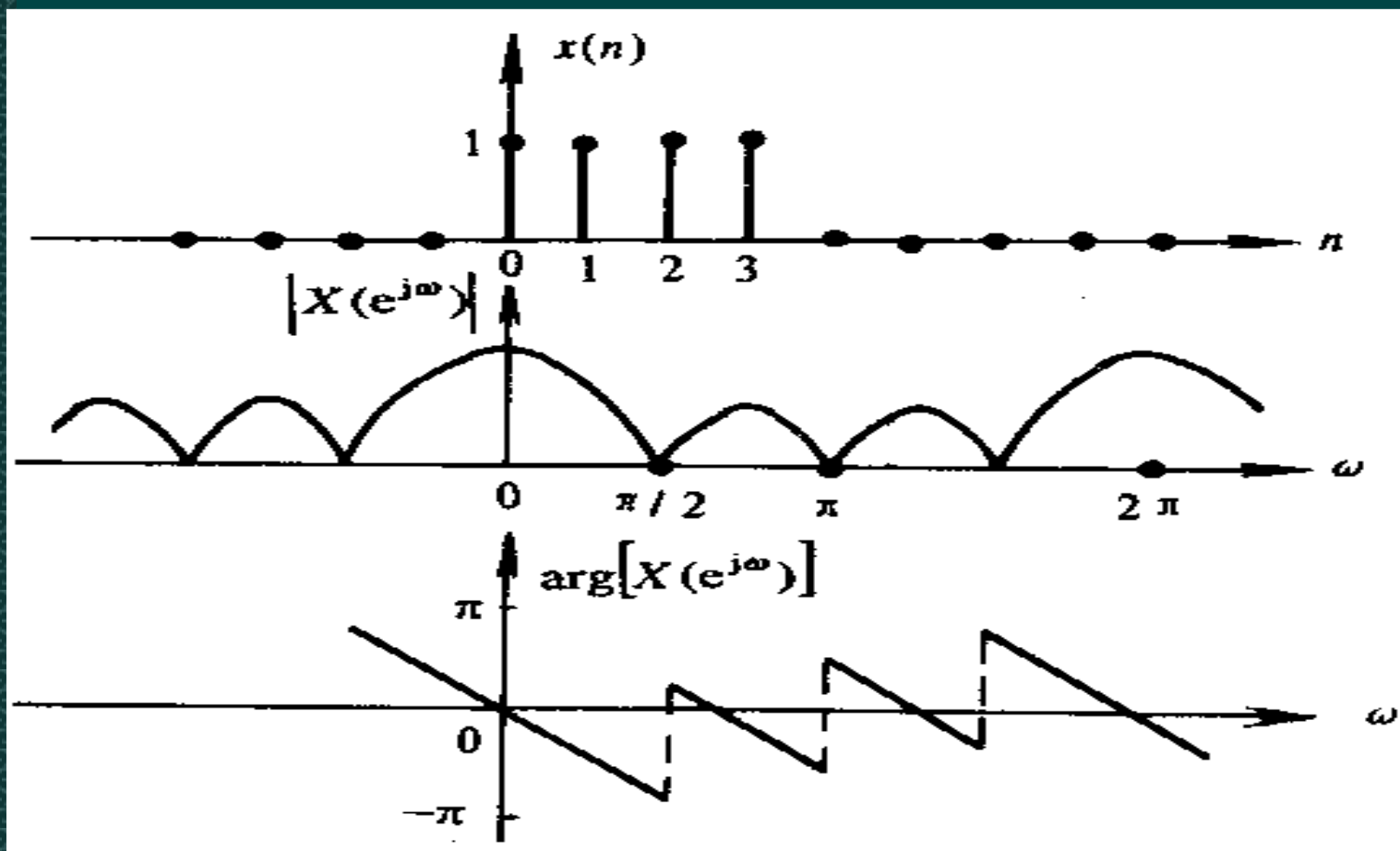
例 3.1.2 设 $x(n)=R_N(n)$, 求 $x(n)$ 的DTFT

解:

$$\begin{aligned} X(e^{j\omega}) &= \sum_{n=-\infty}^{\infty} R_N(n) e^{-j\omega n} = \sum_{n=0}^{N-1} e^{-j\omega n} \\ &= \frac{1 - e^{-j\omega N}}{1 - e^{-j\omega}} = \frac{e^{-j\omega N/2} (e^{j\omega N/2} - e^{-j\omega N/2})}{e^{-j\omega/2} (e^{j\omega/2} - e^{-j\omega/2})} \\ &= e^{-j(N-1)\omega/2} \frac{\sin(\omega N / 2)}{\sin \omega / 2} \quad (3.1.7) \end{aligned}$$

设 $N=4$, 幅度与相位随 ω 变化曲线如下图所示

3.1.1 序列的离散时间傅里叶变换



$R_4(n)$ DTFT的幅度与相位曲线

第3章 离散时间信号和系统的频域分析



◆ 3.1 离散时间信号的傅里叶变换 (DTFT)

- 序列的离散时间傅里叶变换
- 序列的离散时间傅里叶变换的性质
- 基本序列的离散时间傅里叶变换

◆ 3.2 离散时间信号的Z域分析

◆ 3.3 离散时间LTI系统的频域分析

◆ 3.4 离散时间LTI系统的Z域分析

3.1.2 序列的离散时间傅里叶变换的性质

1. DTFT的周期性

在如下定义式中， n 取整数，

$$X(e^{j\omega}) = \sum_{n=-\infty}^{\infty} x(n)e^{-j\omega n}$$

因此下式成立，其中 M 为整数

$$X(e^{j\omega}) = \sum_{n=-\infty}^{\infty} x(n)e^{-j(\omega+2\pi M)n}$$

序列的离散时间傅里叶变换的周期是 2π 。因此

一般只分析 $-\pi \sim \pi$ 之间的DTFT

3.1.2 序列的离散时间傅里叶变换的性质

对于离散时间信号，信号的直流和低频分量集中在 $\omega = 0$ 和 2π 整数倍附近，信号最高频率应该集中在 π 附近

由于序列的傅里叶变换具有周期性，因此经常将 $x(n)$ 的傅里叶变换写成 $X(e^{j\omega})$ ，而不是成 $X(j\omega)$ ，以显示其周期性

3.1.2 序列的离散时间傅里叶变换的性质

2. 线性

设 $X_1(e^{j\omega}) = DTFT[x_1(n)]$

$$X_2(e^{j\omega}) = DTFT[x_2(n)]$$

那么

$$DTFT[ax_1(n) + bx_2(n)] = aX_1(e^{j\omega}) + bX_2(e^{j\omega})$$

式中 a, b 为常数

3.1.2 序列的离散时间傅里叶变换的性质

3. 时移(位移)与频移

设 $X(e^{j\omega}) = \text{DTFT}[x(n)]$, 那么

$$\text{DTFT}[x(n - n_0)] = e^{-j\omega n_0} X(e^{j\omega})$$

$$\text{DTFT}[e^{j\omega_0 n} x(n)] = X(e^{j(\omega - \omega_0)})$$

3.1.2 序列的离散时间傅里叶变换的性质

4. 序列乘以n（频域微分）

$$DTFT[nx(n)] = j \frac{dX(e^{j\omega})}{d\omega}$$

5. 共轭序列

$$DTFT[x^*(n)] = X^*(e^{-j\omega})$$

$$DTFT[x^*(-n)] = X^*(e^{j\omega})$$

3.1.2 序列的离散时间傅里叶变换的性质

6. DTFT的对称性

1) 共轭对称序列 序列 $x_e(n)$ 满足下式:

$$x_e(n) = x_e^*(-n) \quad (3.1.8)$$

将 $x_e(n)$ 用其实部与虚部表示

$$x_e(n) = x_{er}(n) + jx_{ei}(n)$$

将上式两边 n 用 $-n$ 代替, 并取共轭, 得到

$$x_e^*(-n) = x_{er}(-n) - jx_{ei}(-n)$$

根据(3.1.8)式, 上面两式左边相等, 得到

$$x_{er}(n) = x_{er}(-n) \quad x_{ei}(n) = -x_{ei}(-n)$$

共轭对称序列的实部是偶函数, 虚部是奇函数

3.1.2 序列的离散时间傅里叶变换的性质

2) 共轭反对称序列

$$x_o(n) = -x_o^*(-n) \quad (3.1.9)$$

将 $x_o(n)$ 表示成实部与虚部，如下式：

$$x_o(n) = x_{or}(n) + jx_{oi}(n)$$

同样的道理可以得到

$$x_{or}(n) = -x_{or}(-n) \quad x_{oi}(n) = x_{oi}(-n)$$

共轭反对称序列的实部是奇函数，虚部是偶函数

3.1.2 序列的离散时间傅里叶变换的性质

例 3.1.3 试分析 $x(n)=e^{j\omega n}$ 的对称性

解：

将 $x(n)$ 的 n 用 $-n$ 代替， $x(-n)=e^{-j\omega n}$ ，再取共轭得到：

$$x^*(-n)=e^{j\omega n}$$

因此 $x(n)=x^*(-n)$ ，满足(3.1.8)式， $x(n)$ 是共轭对称序列

如展成实部与虚部，得到

$$x(n)=\cos\omega n+j\sin\omega n$$

上式表明，共轭对称序列的实部是偶函数，虚部是奇函数

3.1.2 序列的离散时间傅里叶变换的性质

对于一般序列可用共轭对称序列与共轭反对称序列之和表示，即

$$x(n) = x_e(n) + x_o(n) \quad (3.1.10)$$

式中 $x_e(n)$ ， $x_o(n)$ 可以分别用原序列 $x(n)$ 求出，将(3.1.10)式中的 n 用 $-n$ 代替，再取共轭得到

$$x^*(-n) = x_e(n) - x_o(n)$$

利用以上两式，得到

$$x_e(n) = \frac{1}{2}[x(n) + x^*(-n)] \quad x_o(n) = \frac{1}{2}[x(n) - x^*(-n)]$$

3.1.2 序列的离散时间傅里叶变换的性质

对于频域函数 $X(e^{j\omega})$ 也有和上面类似的概念和结论：

$$X(e^{j\omega}) = X_e(e^{j\omega}) + X_o(e^{j\omega})$$

$X_e(e^{j\omega})$ 与 $X_o(e^{j\omega})$ 分别称为共轭对称部分和共轭反对称部分，它们满足

$$X_e(e^{j\omega}) = X_e^*(e^{-j\omega})$$

$$X_o(e^{j\omega}) = -X_o^*(e^{-j\omega})$$

同样有下面公式满足：

$$X_e(e^{j\omega}) = \frac{1}{2}[X(e^{j\omega}) + X^*(e^{-j\omega})] \quad X_o(e^{j\omega}) = \frac{1}{2}[X(e^{j\omega}) - X^*(e^{-j\omega})]$$

总结

共轭对称 $X_e(e^{j\omega}) = \frac{1}{2}[X(e^{j\omega}) + X^*(e^{-j\omega})]$

$$x_e(n) = \frac{1}{2}[x(n) + x^*(-n)]$$

性质：实部偶，虚部奇

共轭反对称

$$X_o(e^{j\omega}) = \frac{1}{2}[X(e^{j\omega}) - X^*(e^{-j\omega})]$$

$$x_o(n) = \frac{1}{2}[x(n) - x^*(-n)]$$

性质：实部奇，虚部偶

3.1.2 序列的离散时间傅里叶变换的性质

◆ 分析DTFT的对称性

(a) 将序列 $x(n)$ 分成实部 $x_r(n)$ 与虚部 $x_i(n)$

$$x(n) = x_r(n) + jx_i(n)$$

对上式进行DTFT，得到

$$X(e^{j\omega}) = X_e(e^{j\omega}) + X_o(e^{j\omega})$$

式中

$$X_e(e^{j\omega}) = DTFT[x_r(n)] = \sum_{n=-\infty}^{\infty} x_r(n)e^{-j\omega n}$$

$$X_o(e^{j\omega}) = DTFT[jx_i(n)] = j \sum_{n=-\infty}^{\infty} x_i(n)e^{-j\omega n}$$

3.1.2 序列的离散时间傅里叶变换的性质

上面两式中， $x_r(n)$ 和 $x_i(n)$ 都是实数序列，容易证明：

- $X_e(e^{j\omega})$ 具有共轭对称性
- $X_o(e^{j\omega})$ 具有共轭反对称性

最后得到结论

- 序列分成实部与虚部两部分，实部的DTFT具有共轭对称性，虚部乘 j 一起对应的DTFT具有共轭反对称性

3.1.2 序列的离散时间傅里叶变换的性质

(b)将序列分成共轭对称部分 $x_e(n)$ 和共轭反对称部分 $x_o(n)$,

$$x(n) = x_e(n) + x_o(n)$$

由下式进行DTFT
$$x_e(n) = \frac{1}{2}[x(n) + x^*(-n)]$$

$$x_o(n) = \frac{1}{2}[x(n) - x^*(-n)]$$

得:

$$\text{DTFT}[x_e(n)] = 1/2[X(e^{j\omega}) + X^*(e^{j\omega})] = \text{Re}[X(e^{j\omega})] = X_R(e^{j\omega})$$

$$\text{DTFT}[x_o(n)] = 1/2[X(e^{j\omega}) - X^*(e^{j\omega})] = j\text{Im}[X(e^{j\omega})] = jX_I(e^{j\omega})$$

$$\begin{array}{l} X_R(e^{j\omega}) = \text{DTFT}[x_e(n)] \\ jX_I(e^{j\omega}) = \text{DTFT}[x_o(n)] \end{array} \xrightarrow{\text{对比}} \begin{array}{l} X_e(e^{j\omega}) = \text{DTFT}[x_r(n)] \\ X_o(e^{j\omega}) = \text{DTFT}[jx_i(n)] \end{array}$$

总结



时域信号: $x(n) = \overset{\text{实部}}{x_r(n)} + \overset{\text{虚部}}{jx_i(n)}$

DTFT

频域信号: $X(e^{j\omega}) = X_e(e^{j\omega}) + X_o(e^{j\omega})$

共轭对称 共轭反对称

时域信号: $x(n) = x_e(n) + x_o(n)$

DTFT

频域信号: $X(e^{j\omega}) = X_R(e^{j\omega}) + jX_i(e^{j\omega})$

实部 虚部

3.1.2 序列的离散时间傅里叶变换的性质

设 $h(n)$ 是实因果序列，其DTFT只有共轭对称部分 $H_e(e^{j\omega})$ ，共轭反对称部分为零。实部对应的是共轭对称分量

$$H(e^{j\omega}) = H_e(e^{j\omega}) \quad \text{共轭对称分量的实部是}$$

$$H(e^{j\omega}) = H^*(e^{-j\omega}) \quad \text{偶函数，虚部是奇函数}$$

因此实序列的DTFT的实部是偶函数，虚部是奇函数

$$H_R(e^{j\omega}) = H_R(e^{-j\omega})$$

$$H_I(e^{j\omega}) = -H_I(e^{-j\omega})$$

$$|H(e^{j\omega})|^2 = H_R^2(e^{j\omega}) + H_I^2(e^{j\omega})$$

$$\arg[H(e^{j\omega})] = \arctan[H_I(e^{j\omega})/H_R(e^{j\omega})]$$

模平方是 ω 的偶函数相位是 ω 的奇函数

3.1.2 序列的离散时间傅里叶变换的性质

7. 时域卷积定理

设 $y(n)=x(n)*h(n)$,

$$\text{则 } Y(e^{j\omega})=X(e^{j\omega}) \cdot H(e^{j\omega}) \quad (3.1.11)$$

证明:

$$y(n) = \sum_{m=-\infty}^{\infty} x(m)h(n-m)$$

$$Y(e^{j\omega}) = DTFT[y(n)] = \sum_{n=-\infty}^{\infty} \left[\sum_{m=-\infty}^{\infty} x(m)h(n-m) \right] e^{-j\omega n}$$

令 $k=n-m$

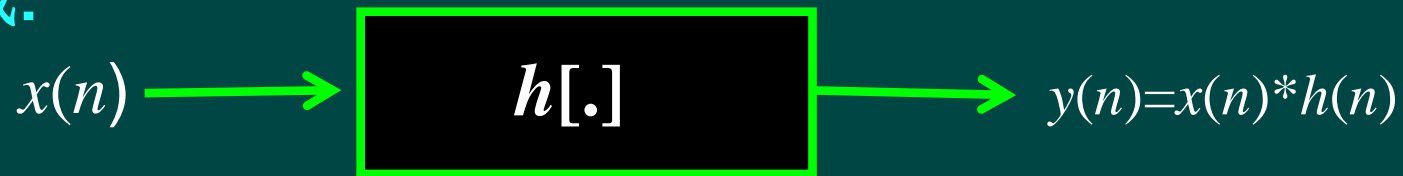
$$Y(e^{j\omega}) = \sum_{k=-\infty}^{\infty} \sum_{m=-\infty}^{\infty} h(k)e^{-j\omega k} x(m)e^{-j\omega m}$$

$$= \sum_{k=-\infty}^{\infty} h(k)e^{-j\omega k} \sum_{m=-\infty}^{\infty} x(m)e^{-j\omega m}$$

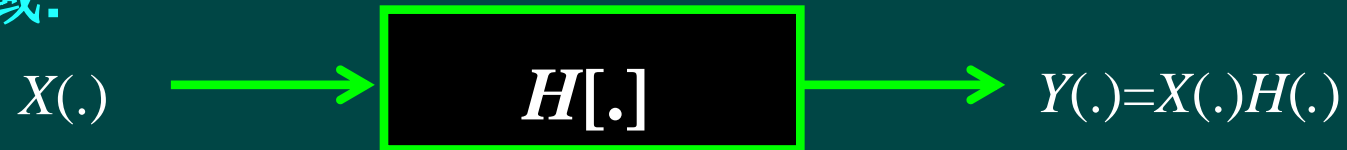
$$= H(e^{j\omega})X(e^{j\omega})$$

3.1.2 序列的离散时间傅里叶变换的性质

时域:



频域:



因此求系统的输出信号，可以在时域用卷积公式计算
也可以在频域按照(3.1.11)式，求出输出的DTFT，再
作逆DTFT求出输出信号

3.1.2 序列的离散时间傅里叶变换的性质

8. 频域卷积定理

假设

$$X(e^{j\omega}) = DTFT[x(n)]$$
$$H(e^{j\omega}) = DTFT[h(n)]$$
$$y(n) = x(n)h(n)$$

则

$$Y(e^{j\omega}) = \frac{1}{2\pi} X(e^{j\omega}) * H(e^{j\omega})$$
$$= \frac{1}{2\pi} \int_{-\pi}^{\pi} H(e^{j\theta}) X(e^{j(\omega-\theta)}) d\theta$$

该定理表明在时域两序列相乘，转换到频域服从卷积关系。此定理也称为调制定理

3.1.2 序列的离散时间傅里叶变换的性质

9. 帕斯瓦尔(Parseval)定理

说明：信号时域的总能量等于频域的总能量：能量守恒

证明：
$$\sum_{n=-\infty}^{\infty} |x(n)|^2 = \frac{1}{2\pi} \int_{-\pi}^{\pi} |X(e^{j\omega})|^2 d\omega$$

$$\begin{aligned} \sum_{n=-\infty}^{\infty} |x(n)|^2 &= \sum_{n=-\infty}^{\infty} x(n)x^*(n) = \sum_{n=-\infty}^{\infty} x^*(n) \left[\frac{1}{2\pi} \int_{-\pi}^{\pi} X(e^{j\omega}) e^{j\omega n} d\omega \right] \\ &= \frac{1}{2\pi} \int_{-\pi}^{\pi} X(e^{j\omega}) \sum_{n=-\infty}^{\infty} x^*(n) e^{j\omega n} d\omega \\ &= \frac{1}{2\pi} \int_{-\pi}^{\pi} X(e^{j\omega}) X^*(e^{j\omega}) d\omega = \frac{1}{2\pi} \int_{-\pi}^{\pi} |X(e^{j\omega})|^2 d\omega \end{aligned}$$

时域
总能量

能量守恒定理

频域总能量

3.1.2 序列的离散时间傅里叶变换的性质



表3.1.1 序列的离散时间傅里叶变换的主要性质

| 性质 | 序列 | 离散时间傅里叶变换 |
|--------|------------------------|--|
| | $x(n)$ | $X(e^{j\omega})$ |
| | $y(n)$ | $Y(e^{j\omega})$ |
| 线性 | $ax(n) + by(n)$ | $aX(e^{j\omega}) + bY(e^{j\omega})$ $a、b$ 为实常数 |
| 位移特性 | $x(n - n_0)$ | $e^{-j\omega n_0} X(e^{j\omega})$ |
| 频移特性 | $e^{j\omega_0 n} x(n)$ | $X(e^{j(\omega - \omega_0)})$ |
| 序列/翻转 | $x(-n)$ | $X(e^{-j\omega})$ |
| 共轭序列 | $x^*(n)$ | $X^*(e^{-j\omega})$ |
| 共轭翻转序列 | $x^*(-n)$ | $X^*(e^{j\omega})$ |
| 线性卷积定理 | $x(n) * y(n)$ | $X(e^{j\omega})Y(e^{j\omega})$ |
| 频域卷积定理 | $x(n)y(n)$ | $\frac{1}{2\pi} \int_{-\pi}^{\pi} X(e^{j\theta})Y(e^{j(\omega - \theta)}) d\theta$ |

3.1.2 序列的离散时间傅里叶变换的性质



表3.1.1 序列的离散时间傅里叶变换的主要性质

| | | |
|----------|--|------------------------------|
| 序列乘以 n | $nx(n)$ | $j[dX(e^{j\omega})/d\omega]$ |
| 实部 | $\text{Re}[x(n)]$ | $X_e(e^{j\omega})$ |
| 虚部乘以 j | $jI_m[x(n)]$ | $X_o(e^{j\omega})$ |
| 共轭对称序列 | $x_e(n)$ | $\text{Re}[X(e^{j\omega})]$ |
| 共轭反对称序列 | $x_o(n)$ | $jI_m[X(e^{j\omega})]$ |
| 帕斯瓦尔定理 | $\sum_{n=-\infty}^{\infty} x(n) ^2 = \frac{1}{2\pi} \int_{-\pi}^{\pi} X(e^{j\omega}) ^2 d\omega$ | |

第3章 离散时间信号和系统的频域分析



◆ 3.1 离散时间信号的傅里叶变换 (DTFT)

- 序列的离散时间傅里叶变换
- 序列的离散时间傅里叶变换的性质
- 基本序列的离散时间傅里叶变换

◆ 3.2 离散时间信号的Z域分析

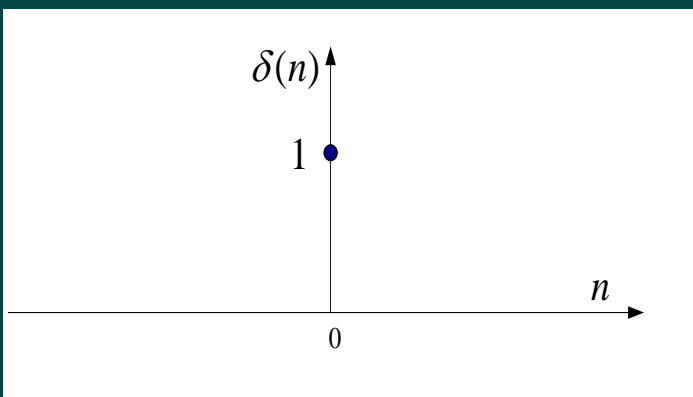
◆ 3.3 离散时间LTI系统的频域分析

◆ 3.4 离散时间LTI系统的Z域分析

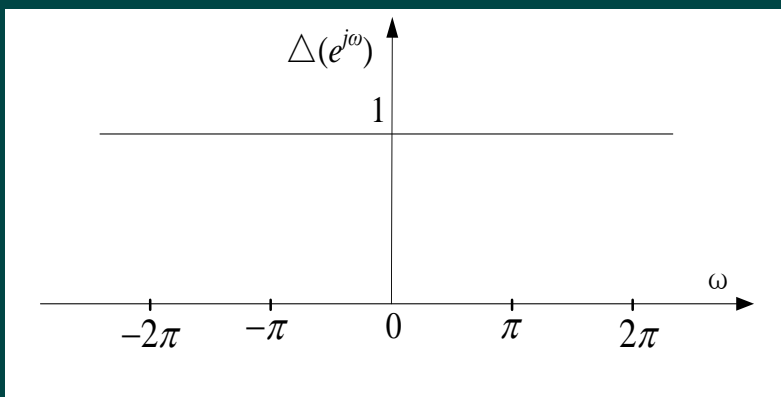
3.1.3 基本序列的离散时间傅里叶变换

◆ 单位脉冲序列的DTFT

$$DTFT[\delta(n)] = \sum_{n=-\infty}^{\infty} \delta(n)e^{-j\omega n} = 1$$



单位脉冲序列



单位脉冲序列的频谱函数

3.1.3 基本序列的离散时间傅里叶变换

◆ 常数1的DTFT

序列 $x(n)=1$ 的序列 $X(e^{j\omega}) = \sum_{n=-\infty}^{\infty} e^{-j\omega n} = \sum_{n=-\infty}^{\infty} e^{-j(\omega-2\pi l)n}$

(3.1.12)

在模拟信号中有 $\int_{-\infty}^{\infty} e^{-j\Omega t} dt = 2\pi\delta(\Omega)$

(3.1.13)

因为在离散时间信号中, $e^{-j\omega n} = e^{-j(\omega-2\pi l)n}$,

l 取整数, 所以对比(3.1.12)和(3.1.13)得

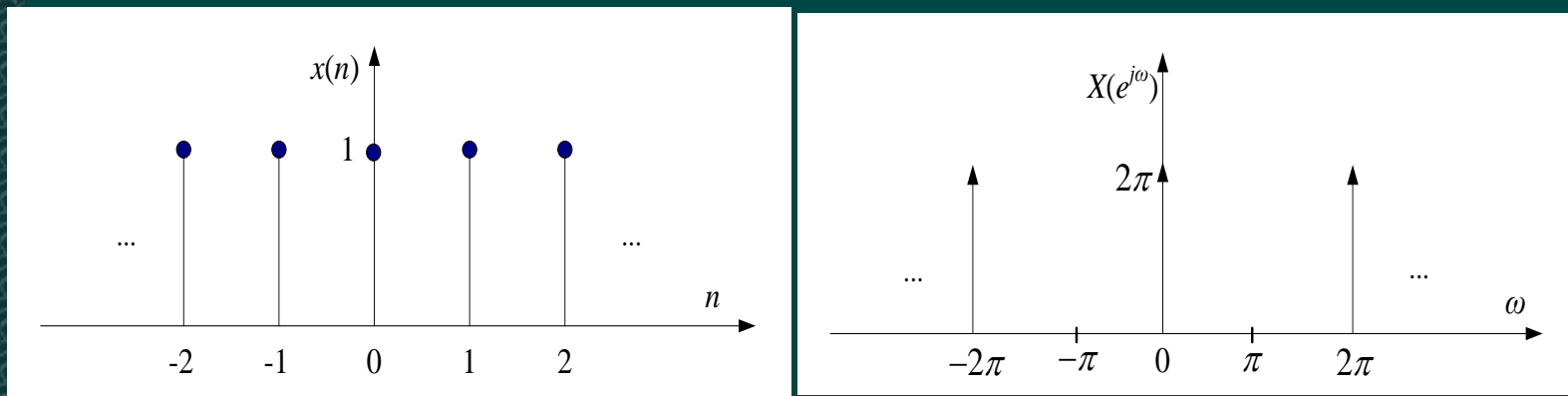
$$X(e^{j\omega}) = 2\pi \sum_{l=-\infty}^{\infty} \delta(\omega - 2\pi l)$$

3.1.3 基本序列的离散时间傅里叶变换

◆ 常数1的DTFT

$$X(e^{j\omega}) = 2\pi \sum_{l=-\infty}^{\infty} \delta(\omega - 2\pi l)$$

其频谱函数是在 $\omega = 2\pi l$ 处的单位冲激函数，强度为 2π



3.1.3 基本序列的离散时间傅里叶变换



表3.1.2 基本序列的离散时间傅里叶变换

| 序列 | 离散时间傅里叶变换 |
|---|---|
| $\delta(n)$ | 1 |
| 周期单位脉冲序列 $x(n) = 1$ | $2\pi \sum_{l=-\infty}^{\infty} \delta(\omega - 2\pi l)$ |
| $u(n)$ | $\frac{1}{1 - e^{-j\omega}} + \pi \sum_{l=-\infty}^{\infty} \delta(\omega - 2\pi l)$ |
| $R_N(n)$ | $e^{-j(N-1)\omega/2} \frac{\sin(\omega N / 2)}{\sin(\omega / 2)}$ |
| $a^n u(n) \quad a < 1$ | $\frac{1}{1 - ae^{-j\omega}}$ |
| $e^{j\omega_0 n} \quad 2\pi/\omega_0 \text{ 为有理数}$ | $2\pi \sum_{l=-\infty}^{\infty} \delta(\omega - \omega_0 - 2\pi l)$ |
| $\cos(\omega_0 n) \quad 2\pi/\omega_0 \text{ 为有理数}$ | $\pi \sum_{l=-\infty}^{\infty} [\delta(\omega - \omega_0 - 2\pi l) + \delta(\omega + \omega_0 + 2\pi l)]$ |
| $\sin(\omega_0 n) \quad 2\pi/\omega_0 \text{ 为有理数}$ | $-j\pi \sum_{l=-\infty}^{\infty} [\delta(\omega - \omega_0 - 2\pi l) - \delta(\omega + \omega_0 + 2\pi l)]$ |

第3章 离散时间信号和系统的频域分析



◆ 3.1 离散时间信号的傅里叶变换 (DTFT)

- 序列的离散时间傅里叶变换
- 序列的离散时间傅里叶变换的性质
- 基本序列的离散时间傅里叶变换

◆ 3.2 离散时间信号的Z域分析

◆ 3.3 离散时间LTI系统的频域分析

◆ 3.4 离散时间LTI系统的Z域分析

3.2 离散时间信号的Z域分析

- 3.2.1 Z变换的定义
- 3.2.2 收敛域的特性
- 3.2.3 Z变换的性质和定理
- 3.2.4 逆Z变换



3.2离散时间信号的Z域分析

- DTFT方法用复指数序列来表示时域的离散信号
- 对于 LTI系统存在如下优点
 - 在频域用频率响应函数 H 来表示系统
 - 任意绝对可和序列 $x(n)$ 的响应可以很容易的通过在频域将 X 乘以 H 得到



傅里叶变换的缺点

1. 很多具有实用价值的信号如 $u(n)$, $nu(n)$ 无法通过DTFT来计算其频域信号
2. 由初始条件或输入变化引起的系统瞬态响应不能通过DTFT来计算

为解决上述问题，Z变换被提出来

3.2.1 离散时间信号的Z变换的定义

序列 $x(n)$ 的**Z变换**定义为

$$X(z) = \sum_{n=-\infty}^{\infty} x(n) z^{-n} \quad (3.2.1)$$

z 是一个复变量，它所在的复平面称为 z 平面。注意在定义中，对 n 求和是在 $\pm\infty$ 之间求和，称为**双边Z变换**。

单边Z变换的定义如下

$$X(z) = \sum_{n=0}^{\infty} x(n) z^{-n}$$

对于因果序列，用两种Z变换定义计算出的结果是一样的。本课程如不特别声明，均用双边Z变换对信号进行分析和变换

3.2.1 离散时间信号的Z变换的定义

Z变换存在的条件是(3.2.1)式等号右边级数收敛，要求级数绝对可和，即

$$\sum_{n=-\infty}^{\infty} |x(n) z^{-n}| < \infty \quad (3.2.2)$$

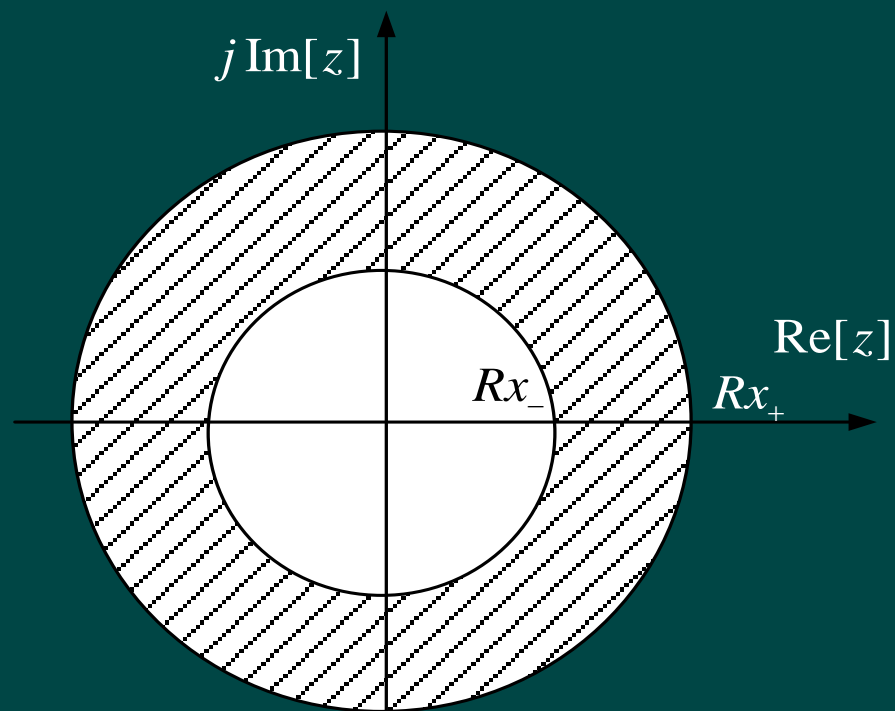
使(3.2.2)式成立，z变量取值的域称为收敛域(Region of convergence, ROC)。一般收敛域用环状区域来表示

$$R_{x-} < |z| < R_{x+}$$

3.2.1 离散时间信号的Z变换的定义

令 $z = re^{j\omega}$ ，代入 $R_{x-} < |z| < R_{x+}$ ，得到 $R_{x-} < r < R_{x+}$ 。

收敛域分别以 R_{x-} 和 R_{x+} 为半径的两个圆形形成的环状域



Z变换的收敛域图示

3.2.1 离散时间信号的Z变换的定义

常用的Z变换是一个有理函数，用两个多项式之比表示

$$X(z) = \frac{P(z)}{Q(z)}$$

分子多项式 $P(z)$ 的根是 $X(z)$ 的零点，记为 $z_i (i = 1, 2, \dots, M)$

分母多项式 $Q(z)$ 的根是 $X(z)$ 的极点，记为 $p_k (k=1, 2, \dots, N)$

在极点处Z变换不存在，因此收敛域中没有极点，收敛域总是用极点限定其边界

3.2.1 离散时间信号的Z变换的定义

$$\text{DTFT } X(e^{j\omega}) = \sum_{n=-\infty}^{\infty} x(n)e^{-j\omega n} \quad \text{Z变换 } X(z) = \sum_{n=-\infty}^{\infty} x(n)z^{-n}$$

- 对比序列的DTFT和Z变换的定义，很容易得到二者之间的关系：

$$X(e^{j\omega}) = X(z) \Big|_{z=e^{j\omega}} \quad (3.2.3)$$

- 式中 $z=e^{j\omega}$ 表示在z平面上 $r=1$ 的圆(单位圆)。
- (3.2.3)式表明：**单位圆上的Z变换就是序列的DTFT**
- 如果已知序列的Z变换，可用(3.2.3)式，很方便的求出序列的DTFT，条件是收敛域中包含单位圆

3.2.1 离散时间信号的Z变换的定义

例 3.2.1 $x(n)=u(n)$ ，求其Z变换

解：

$$X(z) = \sum_{n=-\infty}^{\infty} u(n) z^{-n} = \sum_{n=0}^{\infty} z^{-n}$$

$X(z)$ 存在的条件是 $|z^{-1}|<1$ ，因此收敛域为 $|z|>1$

$$X(z) = \frac{1}{1 - z^{-1}} \quad |z|>1$$

- 极点是 $z=1$ ，单位圆上的Z变换不存在，因此其DTFT不存在，但如果引入单位冲激函数，其DTFT则可以表示出来
- 该例同时说明一个序列的DTFT不存在，但在一定收敛域内Z变换是存在的

3.2 离散时间信号的Z域分析

- 3.2.1 Z变换的定义
- 3.2.2 收敛域的特性
- 3.2.3 Z变换的性质和定理
- 3.2.4 逆Z变换



3.2.2 Z 变换收敛域的特性

- 由于收敛域是根据幅度 $|z|$ 来确定的，所以收敛域由圆周来界定
- 右边序列($n < n_0, x(n)=0$)的收敛域总在半径为 R_{x-} 圆周的外部
- 左边序列($n > n_0, x(n)=0$)的收敛域总在半径为 R_{x+} 的圆周的内部
- 如果双边序列的收敛域存在，收敛域在 $R_{x-} < |z| < R_{x+}$ 的圆环上

3.2.2 Z 变换收敛域的特性

- 有限长序列($n < n_1$ and $n > n_2, x(n)=0$) 的收敛域是整个Z平面, 如果 $n_1 < 0$, 那么 z 等于无穷不在收敛域内, 如果 $n_2 > 0$, 那么 $z=0$ 不在收敛域内
- 由于 $X(z)$ 在收敛域内一致收敛, 收敛域不能包含极点
- 对于一个有理的 $X(z)$, 至少有一个极点在收敛域的边界上
- 收敛域是一个连续的区域, 收敛域不能由间断的几个区域组成

3.2.2 Z 变换收敛域的特性

1. 有限长序列

如序列 $x(n)$ 满足下式:

$$x(n)=\begin{cases} x(n), n_1\leq n\leq n_2 \\ 0, \text{其它} \end{cases} \quad (3.2.4)$$

其Z变换为 $X(z) = \sum_{n=n_1}^{n_2} x(n) z^{-n}$

设 $x(n)$ 为有界序列, 由于是有限项求和, 除0与 ∞ 两点是否收敛与 n_1 、 n_2 取值情况有关外, 整个 z 平面均收敛

3.2.2 Z 变换收敛域的特性

$$X(z) = \sum_{n=n_1}^{n_2} x(n) z^{-n}$$

如果 $n_1 < 0$, $X(z)$ 中包含 z 的项, $|z| \rightarrow \infty$ $|z^{-n_1}| \rightarrow \infty$

所以 $X(z)$ 的收敛域不包括 ∞ 点;

同理, 如果 $n_2 > 0$, 则收敛域不包括 $z=0$ 点;

如果是因果序列, 收敛域包括 $z=\infty$ 点。具体有限长序列的收敛域表示如下:

$$n_1 < 0, \quad n_2 \leq 0 \text{ 时}, \quad 0 \leq |z| < \infty$$

$$n_1 < 0, \quad n_2 > 0 \text{ 时}, \quad 0 < |z| < \infty$$

$$n_1 \geq 0, \quad n_2 > 0 \text{ 时}, \quad 0 < |z| \leq \infty$$

3.2.2 Z 变换收敛域的特性

例：3.2.2 求 $x(n)=R_N(n)$ 的Z变换及其收敛域
解：

$$X(z) = \sum_{n=-\infty}^{\infty} R_N(n) z^{-n} = \sum_{n=0}^{N-1} z^{-n} = \frac{1 - z^{-N}}{1 - z^{-1}}$$

这是一个因果的有限长序列，因此收敛域为 $0 < |z| \leq \infty$ 。但由结果的分母可以看出似乎 $z=1$ 是 $X(z)$ 的极点，但同时分子多项式在 $z=1$ 时也有一个零点，极零点对消， $X(z)$ 在单位圆上仍存在

3.2.2 Z 变换收敛域的特性

2. 右序列

右序列是在 $n \geq n_1$ 时，序列值不全为零，而其它 $n < n_1$ ，序列值全为零

$$X(z) = \sum_{n=n_1}^{\infty} x(n) z^{-n} = \sum_{n=n_1}^{-1} x(n) z^{-n} + \sum_{n=0}^{\infty} x(n) z^{-n} \quad (3.2.5)$$

第一项为有限长序列，设 $n_1 \leq -1$ ，其收敛域为 $0 \leq |z| < \infty$ 。

第二项为因果序列，其收敛域为 $R_{x-} < |z| \leq \infty$ ， R_{x-} 是第二项最小的收敛半径。

将两收敛域相与，其收敛域为 $R_{x-} < |z| < \infty$ 。如果是因果序列，收敛域定为 $R_{x-} < |z| \leq \infty$

3.2.2 Z 变换收敛域的特性

例 3.2.3 求 $x(n)=a^n u(n)$ 的Z变换及其收敛域
解：

$$X(z) = \sum_{n=-\infty}^{\infty} a^n u(n) z^{-n} = \sum_{n=0}^{\infty} a^n z^{-n} = \frac{1}{1 - az^{-1}}$$

在收敛域中必须满足 $|az^{-1}| < 1$ ，因此收敛域为 $|z| > |a|$

3.2.2 Z 变换收敛域的特性

3. 左序列

左序列是在 $n \leq n_2$ 时，序列值不全为零，而在 $n > n_2$ ，序列值全为零的序列。左序列的Z变换表示为

$$X(z) = \sum_{n=-\infty}^{n_2} x(n) z^{-n} \quad (3.2.6)$$

如果 $n_2 < 0$ ， $z=0$ 点收敛， $z=\infty$ 点不收敛，其收敛域是在某一圆(半径为 R_{x+})的圆内，收敛域为 $0 \leq |z| < R_{x+}$ 如果 $n_2 > 0$ ，则收敛域为 $0 < |z| < R_{x+}$

3.2.2 Z 变换收敛域的特性

例 3.2.4 求 $x(n)=-a^n u(-n-1)$ 的Z变换及其收敛域

解:

$$\begin{aligned} X(z) &= \sum_{n=-\infty}^{\infty} -a^n u(-n-1) z^{-n} = \sum_{n=-\infty}^{-1} -a^n z^{-n} \\ &= \sum_{n=1}^{\infty} -a^{-n} z^n = \sum_{n=1}^{\infty} -(a^{-1} z)^n \end{aligned}$$

$X(z)$ 存在要求 $|a^{-1} z| < 1$, 即收敛域为 $|z| < |a|$

$$X(z) = \frac{-a^{-1} z}{1 - a^{-1} z} = \frac{1}{1 - a z^{-1}}, \quad |z| < a$$

3.2.2 Z 变换收敛域的特性

4. 双边序列

一个双边序列可以看作一个左序列和一个右序列之和，其Z变换表示为($n_1 > 0$)

$$X(z) = \sum_{n=-\infty}^{\infty} x(n) z^{-n} = X_1(z) + X_2(z) \quad (3.2.7)$$

$$X_1(z) = \sum_{n=-\infty}^{n_1} x(n) z^{-n}, \quad 0 < |z| < R_{x+}$$

$$X_2(z) = \sum_{n=n_1+1}^{\infty} x(n) z^{-n}, \quad R_{x-} < |z| \leq \infty$$

3.2.2 Z 变换收敛域的特性

- $X(z)$ 的收敛域是 $X_1(z)$ 和 $X_2(z)$ 收敛域的公共收敛区域
- 如果 $R_{x+} > R_{x-}$ ，其收敛域为 $R_{x-} < |z| < R_{x+}$ ，这是一个环状域
- 如果 $R_{x+} < R_{x-}$ ，两个收敛域没有公共区域， $X(z)$ 没有收敛域，因此 $X(z)$ 不存在



3.2.2 Z 变换收敛域的特性

例 3.2.5 $x(n)=a^{|n|}$, a 为实数, 求 $x(n)$ 的Z变换及其收敛域

$$\begin{aligned}\text{解: } X(z) &= \sum_{n=-\infty}^{\infty} a^{|n|} z^{-n} = \sum_{n=-\infty}^{-1} a^{-n} z^{-n} + \sum_{n=0}^{\infty} a^n z^{-n} \\ &= \sum_{n=1}^{\infty} a^n z^n + \sum_{n=0}^{\infty} a^n z^{-n}\end{aligned}$$

第一部分收敛域为 $|az|<1$, 得 $|z|<|a|^{-1}$

第二部分收敛域为 $|az^{-1}|<1$, 得到 $|z|>|a|$

3.2.2 Z 变换收敛域的特性

如果 $|a| < 1$ ，即 $|a| < |a|^{-1}$ ，两部分的公共收敛域为 $|a| < |z| < |a|^{-1}$ ，其Z变换如下式：

$$\begin{aligned} X(z) &= \frac{az}{1-az} + \frac{1}{1-az^{-1}} \\ &= \frac{1-a^2}{(1-az)(1-az^{-1})} \quad |a| < |z| < |a|^{-1} \end{aligned}$$

如果 $|a| \geq 1$ ，则无公共收敛域，因此 $X(z)$ 不存在

3.2.2 Z 变换收敛域的特性

当 $0 < a < 1$ 时, $x(n)$ 的波形及 $X(z)$ 的收敛域如下图所示

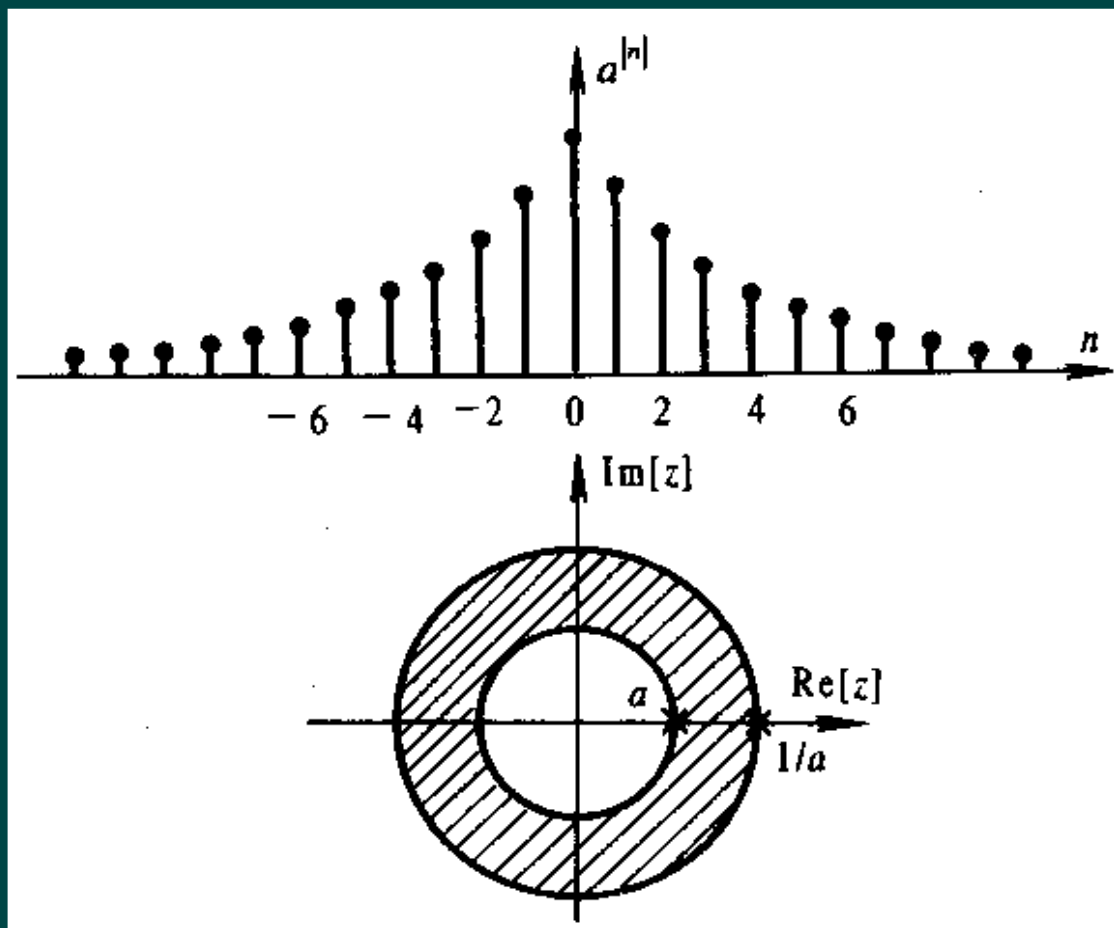




表3.2.1常见序列的Z 变换及收敛域

| 序列 | Z 变换 | 收敛域 |
|-------------------------|---|--------------------------|
| $\delta(n)$ | 1 | $0 \leq z \leq \infty$ |
| $u(n)$ | $\frac{1}{1 - z^{-1}}$ | $ z > 1$ |
| $a^n u(n)$ | $\frac{1}{1 - az^{-1}}$ | $ z > a $ |
| $R_N(n)$ | $\frac{1 - z^{-N}}{1 - z^{-1}}$ | $ z > 0$ |
| $-a^n u(-n - 1)$ | $\frac{1}{1 - az^{-1}}$ | $ z < a $ |
| $nu(n)$ | $\frac{z^{-1}}{(1 - z^{-1})^2}$ | $ z > 1$ |
| $na^n u(n)$ | $\frac{az^{-1}}{(1 - az^{-1})^2}$ | $ z > a $ |
| $e^{j\omega_0 n} u(n)$ | $\frac{1}{1 - e^{j\omega_0} z^{-1}}$ | $ z > 1$ |
| $\sin(\omega_0 n) u(n)$ | $\frac{z^{-1} \sin \omega_0}{1 - 2z^{-1} \cos \omega_0 + z^{-2}}$ | $ z > 1$ |



表3.2.1常见序列的Z变换及收敛域

| | | |
|---|---|----------------|
| $e^{-an} \cos(\omega_0 n) u(n)$ | $\frac{1 - z^{-1} e^{-a} \cos \omega_0}{1 - 2z^{-1} e^{-a} \cos \omega_0 + z^{-2} e^{-2a}}$ | $ z > e^{-a}$ |
| $\sin(\omega_0 n + \theta) u(n)$ | $\frac{\sin \theta + z^{-1} \sin(\omega_0 - \theta)}{1 - 2z^{-1} \cos \omega_0 + z^{-2}}$ | $ z > 1$ |
| $\cos(\omega_0 n + \theta) u(n)$ | $\frac{\cos \theta - z^{-1} \cos(\omega_0 - \theta)}{1 - 2z^{-1} \cos \omega_0 + z^{-2}}$ | $ z > 1$ |
| $(n+1)a^n u(n)$ | $\frac{1}{(1 - az^{-1})^2}$ | $ z > a $ |
| $\frac{(n+1)(n+2)}{2!} a^n u(n)$ | $\frac{1}{(1 - az^{-1})^3}$ | $ z > a $ |
| $\frac{(n+1)(n+2) \cdots (n+m)}{m!} a^n u(n)$ | $\frac{1}{(1 - az^{-1})^{m+1}}$ | $ z > a $ |
| $\frac{n(n-1)}{2!} u(n)$ | $\frac{z^{-2}}{(1 - z^{-1})^3}$ | $ z > 1$ |
| $\frac{n(n-1)(n-2) \cdots (n-m+1)}{m!} u(n)$ | $\frac{z^{-m}}{(1 - z^{-1})^{m+1}}$ | $ z > 1$ |

3.2 离散时间信号的Z域分析



- 3.2.1 Z变换的定义
- 3.2.2 收敛域的特性
- 3.2.3 Z 变换的性质和定理
- 3.2.4 逆Z变换

3.2.3 Z 变换的性质和定理

1. 线性

设 $m(n)=ax(n)+by(n)$, a, b 为常数

$$X(z)=ZT [x(n), R_{x-}<|z|<R_{x+}, Y(z)=ZT [y(n), R_{y-}<|z|<R_{y+}]$$

$$\text{则 } M(z)=ZT [m(n)] = aX(z)+bY(z), \quad R_{m-}<|z|<R_{m+}$$

$$R_{m+}=\min [R_{x+}, R_{y+}] , \quad R_{m-}=\max [R_{x-}, R_{y-}]$$

这里 $M(z)$ 的收敛域是 $X(z)$ 和 $Y(z)$ 的公共收敛域

如果没有公共收敛域, 例如当 $R_{x+}>R_{x-}>R_{y+}>R_{y-}$ 时,
则 $M(z)$ 不存在

3.2.3 Z 变换的性质和定理

2. 移位特性

设 $X(z)=ZT[x(n)]$, $R_{x-}<|z|<R_{x+}$

则

$$ZT[x(n-n_0)]=z^{-n_0} X(z), R_{x-} < |z| < R_{x+}$$

3.2.3 Z 变换的性质和定理

3. 乘以指数序列

设 $X(z)=ZT[x(n)],$ $R_{x-}<|z|<R_{x+}$

$$y(n)=a^n x(n), \quad a \text{ 为常数}$$

则 $Y(z)=ZT[a^n x(n)]$

$$=X(a^{-1}z) \quad |a|R_{x-}<|z|<|a|R_{x+}$$

3.2.3 Z 变换的性质和定理

4. 序列乘以 n

设 $X(z) = ZT[x(n)] \quad R_{x-} < |z| < R_{x+}$

则 $ZT[nx(n)] = -z \frac{dX(z)}{dz} \quad R_{x-} < |z| < R_{x+}$

证明
$$\begin{aligned} \frac{dX(z)}{dz} &= \frac{d}{dz} \left[\sum_{n=-\infty}^{\infty} x(n) z^{-n} \right] = \sum_{n=-\infty}^{\infty} x(n) \frac{d}{dz} [z^{-n}] \\ &= - \sum_{n=-\infty}^{\infty} nx(n) z^{-n-1} = -z^{-1} \sum_{n=-\infty}^{\infty} nx(n) z^{-n} \\ &= -z^{-1} ZT[nx(n)] \end{aligned}$$

$$ZT[nx(n)] = -z \frac{dX(z)}{dz}$$

3.2.3 Z 变换的性质和定理

5. 复共轭序列

设 $X(z) = ZT[x(n)], \quad R_{x-} \leq |z| \leq R_{x+}$

则 $X^*(Z^*) = ZT[x^*(n)], \quad R_{x-} \leq |z| \leq R_{x+}$

证明
$$\begin{aligned} ZT[X^*(n)] &= \sum_{n=-\infty}^{\infty} X^*(n)z^{-n} = \sum_{n=-\infty}^{\infty} [x(n)(Z^*)^{-n}]^* \\ &= \left[\sum_{n=-\infty}^{\infty} x(n)(Z^*)^{-n} \right]^* = X^*(Z^*) \end{aligned}$$

$$ZT[x^*(-n)] = X^*\left(\frac{1}{z^*}\right), \quad 1/R_{x+} < |z| < 1/R_{x-}$$

3.2.3 Z 变换的性质和定理

6. 序列卷积定理

设 $\omega(n) = x(n) * y(n)$

$$X(z) = ZT[x(n)], \quad R_{x-} < |z| < R_{x+}$$

$$Y(z) = ZT[y(n)], \quad R_{y-} < |z| < R_{y+}$$

则 $W(z) = ZT[\omega(n)] = X(z) \cdot Y(z), R_{\omega-} < |z| < R_{\omega+}$

$$R_{\omega+} = \min[R_{x+}, R_{y+}]$$

$$R_{\omega-} = \max[R_{x-}, R_{y-}]$$

3.2.3 Z 变换的性质和定理

证明:

$$\begin{aligned} W(z) &= ZT[x(n) * y(n)] \\ &= \sum_{n=-\infty}^{\infty} \left[\sum_{m=-\infty}^{\infty} x(m) y(n-m) \right] z^{-n} \\ &= \sum_{m=-\infty}^{\infty} x(m) \left[\sum_{n=-\infty}^{\infty} y(n-m) z^{-n} \right] \\ &= \sum_{m=-\infty}^{\infty} x(m) z^{-m} Y(z) \\ &= X(z) \cdot Y(z) \end{aligned}$$

$W(z)$ 的收敛域就是 $X(z)$ 和 $Y(z)$ 的公共收敛域

3.2.3 Z 变换的性质和定理

7.初值定理

设 $x(n)$ 是因果序列, $X(z)=ZT [x(n)]$

$$x(0) = \lim_{z \rightarrow \infty} X(z)$$

证明:

$$X(z) = \sum_{n=0}^{\infty} x(n)z^{-n} = x(0) + x(1)z^{-1} + x(2)z^{-2} + \cdots$$

因此

$$\lim_{z \rightarrow \infty} X(z) = x(0)$$

3.2.3 Z 变换的性质和定理

8. 复卷积定理

如果 $ZT[x(n)] = X(z)$, $R_{x-} < |z| < R_{x+}$

$ZT[y(n)] = Y(z)$, $R_{y-} < |z| < R_{y+}$

$$w(n) = x(n)y(n)$$

则

$$W(z) = \frac{1}{2\pi j} \oint_c X(v) Y\left(\frac{z}{v}\right) \frac{dv}{v}$$

$W(z)$ 的收敛域 $R_{x-}R_{y-} < |z| < R_{x+}R_{y+}$

上式中 v 平面上, 被积函数的收敛域为

$$\max(R_{x-}, \frac{|z|}{R_{y+}}) < |v| < \min(R_{x+}, \frac{|z|}{R_{y-}})$$

3.2.3 Z 变换的性质和定理

证明

$$\begin{aligned} W(z) &= \sum_{n=-\infty}^{\infty} x(n)y(n)z^{-n} \\ &= \sum_{n=-\infty}^{\infty} \left[\frac{1}{2\pi j} \oint_c X(v)v^{n-1}dv \right] y(n)z^{-n} \\ &= \frac{1}{2\pi j} \oint_c X(v) \sum_{n=-\infty}^{\infty} y(n)\left(\frac{z}{v}\right)^{-n} \frac{dv}{v} \\ &= \frac{1}{2\pi j} \oint_c X(v)Y\left(\frac{z}{v}\right) \frac{dv}{v} \end{aligned}$$

由 $X(z)$ 的收敛域和 $Y(z)$ 的收敛域，得到

3.2.3 Z 变换的性质和定理

$$R_{x-} < |v| < R_{x+}$$

$$R_{y-} < \left| \frac{z}{v} \right| < R_{y+}$$

因此 $R_{x-} R_{y-} < |z| < R_{x+} R_{y+}$

$$\max(R_{x-}, \frac{|z|}{R_{y+}}) < |v| < \min(R_{x+}, \frac{|z|}{R_{y-}})$$

3.2.3 Z 变换的性质和定理

9. 终值定理

若 $x(n)$ 是因果序列，其Z变换的极点，除可以有一个一阶极点在 $z=1$ 上，其它极点均在单位圆内，则下式称为终值定理

$$\lim_{n \rightarrow \infty} x(n) = \lim_{z \rightarrow 1} (z-1)X(z)$$

证明

$$(z-1)X(z) = \sum_{n=-\infty}^{\infty} [x(n+1) - x(n)]z^{-n}$$

因为 $x(n)$ 是因果序列， $x(n) = 0, n < 0$

$$(z-1)X(z) = \lim_{n \rightarrow \infty} \left[\sum_{m=-1}^n x(m+1)z^{-m} - \sum_{m=0}^n x(m)z^{-m} \right]$$

3.2.3 Z 变换的性质和定理

因为 $(z-1)X(z)$ 在单位圆上无极点，上式两端对 $z=1$ 取极限

$$\begin{aligned}\lim_{z \rightarrow 1} (z-1)X(z) &= \lim_{n \rightarrow \infty} \left[\sum_{m=-1}^n x(m+1) - \sum_{m=0}^n x(m) \right] \\ &= \lim_{n \rightarrow \infty} [x(0) + x(1) + \cdots x(n+1) \\ &\quad - x(0) - x(1) - x(2) - \cdots x(n)] \\ &= \lim_{n \rightarrow \infty} x(n+1) = \lim_{n \rightarrow \infty} x(n)\end{aligned}$$

终值定理也可用 $X(z)$ 在 $z=1$ 点的留数，因为

$$\lim_{z \rightarrow 1} (z-1)X(z) = \text{Res}[X(z), 1]$$

因此 $x(\infty) = \text{Res}[X(z), 1]$ 如果单位圆上， $X(z)$ 无极点，则
 $x(\infty)=0$

3.2.3 Z 变换的性质和定理

10. 帕斯瓦尔(Parseval)定理

利用复卷积定理可以证明帕斯维尔定理

$$X(z) = ZT[x(n)], \quad R_{x-} < |z| < R_{x+}$$

$$Y(z) = ZT[y(n)], \quad R_{y-} < |z| < R_{y+}$$

且满足 $R_{x-}R_{y-} < 1, \quad R_{x+}R_{y+} > 1$

$$\text{那么 } \sum_{n=-\infty}^{\infty} x(n)y^*(n) = \frac{1}{2\pi j} \oint_c X(v)Y^*\left(\frac{1}{v^*}\right)v^{-1}dv$$

v 平面上, c 所在的收敛域为

$$\max\left(R_{x-}, \frac{1}{R_{y+}}\right) < |v| < \min\left(R_{x+}, \frac{1}{R_{y-}}\right)$$

3.2 离散时间信号的Z域分析

- 3.2.1 Z变换的定义
- 3.2.2 收敛域的特性
- 3.2.3 Z变换的性质和定理
- 3.2.4 逆Z变换



3.2.4 逆Z变换

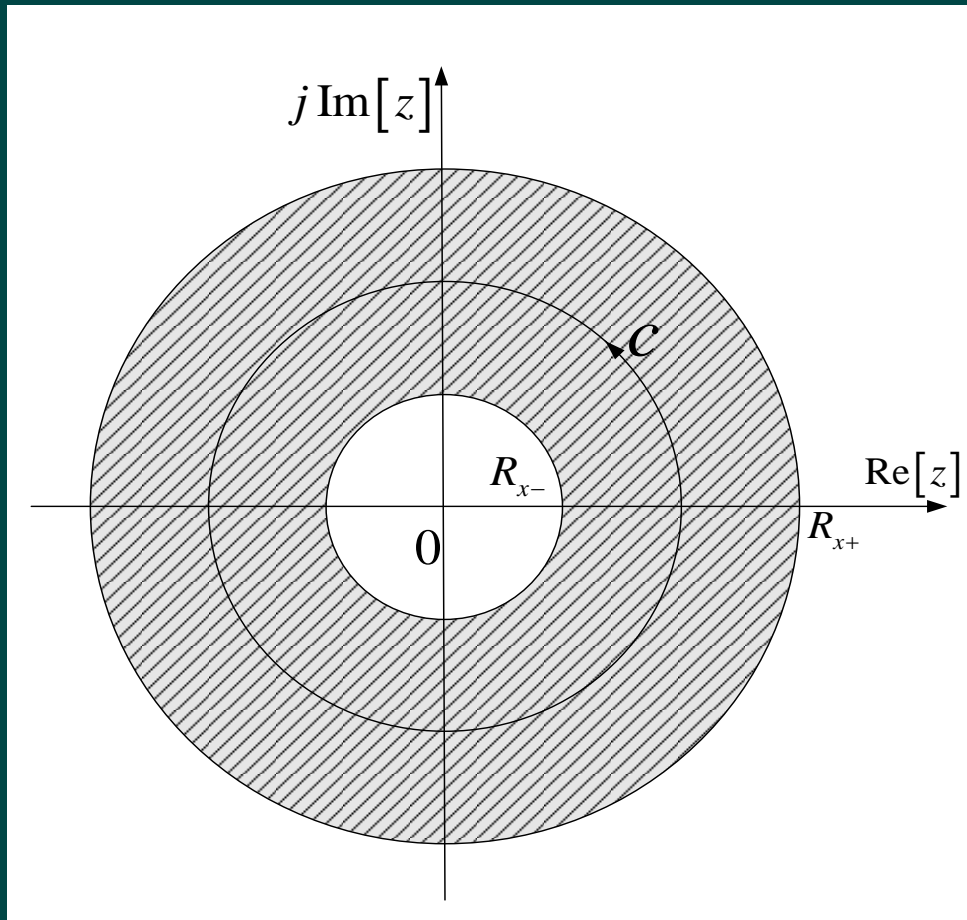
已知序列的Z变换及其收敛域，求序列称为逆Z变换。 序列的**Z变换**及其**逆Z变换**表示如下：

$$X(z) = \sum_{n=-\infty}^{\infty} x(n)z^{-n}, \quad R_{x-} < |z| < R_{x+}$$
$$x(n) = \frac{1}{2\pi j} \oint_c X(z)z^{n-1}dz, \quad c \in (R_{x-}, R_{x+})$$

(3.2.8)

式中，围线 c 是收敛域内一条逆时针的封闭曲线

3.2.4 逆Z变换



围线积分路径图

3.2.4 逆Z变换

1. 幂级数法(长除法)
2. 部分分式展开法
3. 用留数定理求逆Z变换



3.2.4 逆Z变换



1. 幂级数法(长除法)

- 按照Z变换定义，可用长除法将 $X(z)$ 写成幂级数形式，级数的系数就是序列 $x(n)$

$$X(z) = \sum_{n=-\infty}^{\infty} x(n)z^{-n}, \quad R_{x-} < |z| < R_{x+}$$

- 如果 $x(n)$ 是右序列，级数应是负幂级数，分子分母应按 z 的降幂排列
- 如果 $x(n)$ 是左序列，级数则是正幂级数，分子分母应按 z 的升幂排列
- 缺点：复杂情况下，难以得到封闭解形式

3.2.4 逆Z变换

例 3.2.6 已知 $X(z) = \frac{1}{1-az^{-1}}$, $|z| > |a|$, 用长除法求其逆Z变换 $x(n)$

解: 由收敛域判定这是一个右序列, 用长除法将其展成负幂级数

$$\begin{array}{r} 1 - az^{-1} \overline{) 1 + az^{-1} + a^2 z^{-2} + \dots} \\ \underline{1} \phantom{+ az^{-1} + a^2 z^{-2} + \dots} \\ 1 - az^{-1} \phantom{+ a^2 z^{-2} + \dots} \\ \underline{1 - az^{-1}} \phantom{+ a^2 z^{-2} + \dots} \\ az^{-1} \phantom{+ a^2 z^{-2} + \dots} \\ \underline{az^{-1} - a^2 z^{-2}} \\ a^2 z^{-2} \\ \underline{a^2 z^{-2} - a^3 z^{-3}} \\ a^3 z^{-3} \\ \vdots \end{array}$$

$$X(z) = 1 + az^{-1} + a^2 z^{-2} + a^3 z^{-3} + \dots$$

$$= \sum_{n=0}^{\infty} a^n z^{-n}$$

$$x(n) = a^n u(n)$$

3.2.4 逆Z变换

2. 部分分式展开法

- 对于大多数具有单阶极点的序列，常常用这种部分分式展开法求逆Z变换
- 设 $x(n)$ 的Z变换 $X(z)$ 是有理函数，分母多项式是 N 阶，分子多项式是 M 阶，将 $X(z)$ 展成一些简单的常用的部分分式之和，通过查表(表3.2.1)求得各部分的逆变换，再相加即得到原序列 $x(n)$



表3.2.1常见序列的Z 变换及收敛域

| 序列 | Z 变换 | 收敛域 |
|-------------------------|---|--------------------------|
| $\delta(n)$ | 1 | $0 \leq z \leq \infty$ |
| $u(n)$ | $\frac{1}{1 - z^{-1}}$ | $ z > 1$ |
| $a^n u(n)$ | $\frac{1}{1 - az^{-1}}$ | $ z > a $ |
| $R_N(n)$ | $\frac{1 - z^{-N}}{1 - z^{-1}}$ | $ z > 0$ |
| $-a^n u(-n - 1)$ | $\frac{1}{1 - az^{-1}}$ | $ z < a $ |
| $nu(n)$ | $\frac{z^{-1}}{(1 - z^{-1})^2}$ | $ z > 1$ |
| $na^n u(n)$ | $\frac{az^{-1}}{(1 - az^{-1})^2}$ | $ z > a $ |
| $e^{j\omega_0 n} u(n)$ | $\frac{1}{1 - e^{j\omega_0} z^{-1}}$ | $ z > 1$ |
| $\sin(\omega_0 n) u(n)$ | $\frac{z^{-1} \sin \omega_0}{1 - 2z^{-1} \cos \omega_0 + z^{-2}}$ | $ z > 1$ |



表3.2.1常见序列的Z变换及收敛域

| | | |
|---|---|----------------|
| $e^{-an} \cos(\omega_0 n) u(n)$ | $\frac{1 - z^{-1} e^{-a} \cos \omega_0}{1 - 2z^{-1} e^{-a} \cos \omega_0 + z^{-2} e^{-2a}}$ | $ z > e^{-a}$ |
| $\sin(\omega_0 n + \theta) u(n)$ | $\frac{\sin \theta + z^{-1} \sin(\omega_0 - \theta)}{1 - 2z^{-1} \cos \omega_0 + z^{-2}}$ | $ z > 1$ |
| $\cos(\omega_0 n + \theta) u(n)$ | $\frac{\cos \theta - z^{-1} \cos(\omega_0 - \theta)}{1 - 2z^{-1} \cos \omega_0 + z^{-2}}$ | $ z > 1$ |
| $(n+1)a^n u(n)$ | $\frac{1}{(1 - az^{-1})^2}$ | $ z > a $ |
| $\frac{(n+1)(n+2)}{2!} a^n u(n)$ | $\frac{1}{(1 - az^{-1})^3}$ | $ z > a $ |
| $\frac{(n+1)(n+2) \cdots (n+m)}{m!} a^n u(n)$ | $\frac{1}{(1 - az^{-1})^{m+1}}$ | $ z > a $ |
| $\frac{n(n-1)}{2!} u(n)$ | $\frac{z^{-2}}{(1 - z^{-1})^3}$ | $ z > 1$ |
| $\frac{n(n-1)(n-2) \cdots (n-m+1)}{m!} u(n)$ | $\frac{z^{-m}}{(1 - z^{-1})^{m+1}}$ | $ z > 1$ |

3.2.4 逆Z变换

例 3.2.7 已知 $X(z) = \frac{5z^{-1}}{1+z^{-1}-6z^{-2}}, 2 < |z| < 3$, 求逆Z变换

解
$$\frac{X(z)}{z} = \frac{5z^{-2}}{1+z^{-1}-6z^{-2}} = \frac{5}{z^2+z-6} = \frac{5}{(z-2)(z+3)} = \frac{A_1}{z-2} + \frac{A_2}{z+3}$$

$$A_1 = \operatorname{Res}\left[\frac{X(z)}{z}, 2\right] = \frac{X(z)}{z}(z-2)\Big|_{z=2} = 1$$

$$A_2 = \operatorname{Res}\left[\frac{X(z)}{z}, -3\right] = \frac{X(z)}{z}(z+3)\Big|_{z=-3} = -1$$

$$\therefore \frac{X(z)}{z} = \frac{1}{(z-2)} - \frac{1}{(z+3)}$$

$$\therefore X(z) = \frac{1}{1-2z^{-1}} - \frac{1}{1+3z^{-1}}$$

3.2.4 逆Z变换

- 因为收敛域为 $2 < |z| < 3$ ，第一部分极点是 $z=2$ ，因此收敛域为 $|z| > 2$
- 第二部分极点 $z=-3$ ，收敛域应取 $|z| < 3$
- 查表3.2.1得到

$$x(n) = 2^n u(n) + (-3)^n u(-n-1)$$

3.2.4 逆Z变换

3. 用留数定理求逆Z变换

如果 $X(z)z^{n-1}$ 在围线 c 内的极点用 z_k 表示，根据**留数定理**

$$x(n) = \frac{1}{2\pi j} \oint_c X(z)z^{n-1} dz = \sum_k \text{Res}[X(z)z^{n-1}, z_k] \quad (3.2.9)$$

式中 $\text{Res}[X(z)z^{n-1}, z_k]$ 表示被积函数 $X(z)z^{n-1}$ 在极点 $z=z_k$ 的留数，**逆Z变换则是围线 c 内所有的极点留数之和**

3.2.4 逆Z变换



如果 z_k 是单阶极点， 则根据留数定理

$$\text{Res}[X(z)z^{n-1}, z_k] = X(z)z^{n-1}(z - z_k) \Big|_{z=z_k} \quad (3.2.10)$$

如果 z_k 是 N 阶极点， 则根据留数定理

$$\text{Res}[X(z)z^{n-1}, z_k] = \frac{1}{(N-1)!} \frac{d^{N-1}}{dz^{N-1}} [(z - z_k)^N X(z)z^{n-1}] \Big|_{z=z_k} \quad (3.2.11)$$

上式表明，对于 N 阶极点，需要求 $N-1$ 次导数，比较麻烦。如果 c 内有多阶极点，而 c 外没有多阶极点，可以根据留数辅助定理改求 c 外的所有极点留数之和，使问题简化

3.2.4 逆Z变换

设被积函数用 $F(z)$ 表示, 即 $F(z) = X(z)z^{n-1}$

$F(z)$ 在 z 平面上有 N 个极点, 在收敛域内的封闭曲线 c 将 z 平面上极点分成两部分: 一部分是 c 内极点, 设有 N_1 个, 用 z_{1k} 表示; 另一部分是 c 外极点, 有 N_2 个, 用 z_{2k} 表示, $N=N_1+N_2$, 。

根据留数辅助定理下式成立:

$$\sum_{k=1}^{N_1} \text{Res}[F(z), z_{1k}] = - \sum_{k=1}^{N_2} \text{Res}[F(z), z_{2k}] \quad (3.2.12)$$

3.2.4 逆Z变换

(3.2.12)式成立的条件是 $F(z)$ 的分母阶次比分子阶次必须高二阶以上。设 $X(z)=P(z)/Q(z)$ ， $P(z)$ 与 $Q(z)$ 分别是 M 与 N 阶多项式，则

$$F(z) = X(z)z^{n-1} = \frac{P(z)z^{n-1}}{Q(z)}$$

成立的条件是： $N-(M+n-1) \geq 2$ ，即： $N-M-n \geq 1$ (3.2.13)

如果满足(3.2.13)式， c 圆内极点中有多阶极点，而 c 圆外极点没有多阶的，可以按照(3.2.12)式，改求 c 圆外极点留数之和，最后加一个负号

3.2.4 逆Z变换

例 3.2.8 已知 $X(z)=(1-az^{-1})^{-1}$, $|z|>a$, 求其逆Z变换 $x(n)$

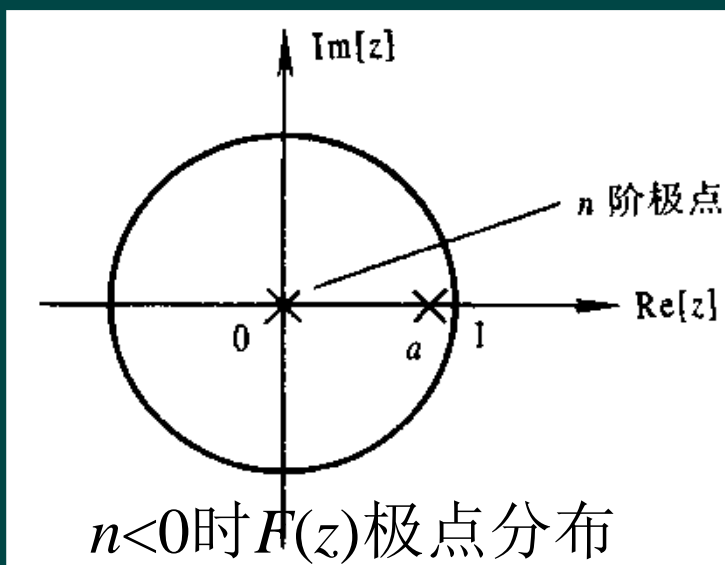
解
$$x(n) = \frac{1}{2\pi j} \oint_c X(z) z^{n-1} dz = \frac{1}{2\pi j} \oint_c (1-az^{-1})^{-1} z^{n-1} dz$$

$$F(z) = X(z) z^{n-1} = \frac{1}{1-az^{-1}} z^{n-1} = \frac{z^n}{z-a}$$

为了用留数定理求解, 先找出 $F(z)$ 的极点, 极点有:

$n < 0$ 时, 有一阶极点 $z=a$ 和 n 阶极点 $z=0$

$n \geq 0$ 时, 仅一阶极点 $z=a$



3.2.4 逆Z变换

因此分成 $n \geq 0$ 和 $n < 0$ 两种情况求 $x(n)$

$n \geq 0$ 时,

$$x(n) = \text{Res}[F(z), a]$$
$$= (z - a) \frac{z^n}{z - a} \Big|_{z=a} = a^n$$

- $n < 0$ 时，增加 $z=0$ 的 n 阶极点，不易求留数，采用留数辅助定理求解。检查 $N-M-n \geq 1$ 是否满足。显然满足
- 由于封闭曲线 c 外部没有极点，可得 $n < 0$ 时， $x(n)=0$ ，所以 $x(n)=a^n u(n)$

第3章 离散时间信号和系统的频域分析



◆ 3.1 离散时间信号的傅里叶变换 (DTFT)

- 序列的离散时间傅里叶变换
- 序列的离散时间傅里叶变换的性质
- 基本序列的离散时间傅里叶变换

◆ 3.2 离散时间信号的Z域分析

◆ 3.3 离散时间LTI系统的频域分析

◆ 3.4 离散时间LTI系统的Z域分析

3.3 离散时间LTI系统的频域分析

- 3.3.1 差分方程的Z变换解
- 3.3.2 离散时间LTI系统的频率响应
- 3.3.3 余弦型信号通过离散时间LTI系统的响应
- 3.3.4 离散时间LTI系统的稳态响应和暂态响应

3.3.1 差分方程的Z变换解

设 N 阶线性常系数差分方程为

$$\sum_{k=0}^N a_k y(n-k) = \sum_{i=0}^M b_i x(n-i), \quad a_0 = 1 \quad (3.3.1)$$

Z变换求解的优点：

- 步骤简明而有规律
- 将差分方程变成了代数方程，使求解过程简单
- 可将系统的初始条件引起的响应包含在求解方程中，可一举求得系统的全响应

3.3.1 差分方程的Z变换解

设 N 阶线性常系数差分方程为

$$\sum_{k=0}^N a_k y(n-k) = \sum_{i=0}^M b_i x(n-i), \quad a_0 = 1 \quad (3.3.1)$$

系统的**全响应**：由零输入响应和零状态响应叠加而成。

- **零输入响应**：假定系统输入为零，由系统初始条件引起的响应；可采用单边 Z 变换来分析
- **零状态响应**：假定系统初始条件为零，由系统输入引起的响应；即 $x(n)*h(n)$

3.3.1 差分方程的Z变换解

计算全响应

$$\sum_{k=0}^N a_k y(n-k) = \sum_{i=0}^M b_i x(n-i), \quad a_0 = 1 \quad (3.3.1)$$

- 对于 N 阶差分方程，必须已知 N 个初始条件
- 设 $x(n)$ 是因果序列，即 $x(n)=0, n<0$ ，已知初始条件 $y(-1), y(-2), \dots, y(-N)$ 。对(3.3.1)式进行Z变换时，注意这里要用单边Z变换。方程式的右边由于 $x(n)$ 是因果序列，单边Z变换与双边Z变换是相同的。
- 下面先求移位序列的单边Z变换

设

$$Y(z) = \sum_{n=0}^{\infty} y(n) z^{-n}$$



$$ZT[y(n-k)u(n)] = \sum_{n=-\infty}^{\infty} y(n-k)z^{-n} = z^{-k} \sum_{n=-\infty}^{\infty} y(n-k)z^{-(n-k)} \\ ZT[y(n-k)u(n)] = z^{-k} [Y(z) + \sum_{n=0}^{\infty} y(l)z^{-l}] \quad (3.3.2)$$

$$= z^{-k} \sum_{l=-\infty}^{\infty} y(l)z^{-l} = z^{-k} [\sum_{l=-k}^{\infty} y(l)z^{-l} + \sum_{l=-1}^{-1} y(l)z^{-l}] \\ \sum_{k=0}^N a_k y(n-k) = \sum_{i=-1}^M b_i x(n-i), \quad a_0 = 1 \quad (3.3.1) \\ = z^{-k} [Y(z) + \sum_{l=-k}^{-1} y(l)z^{-l}]$$

按照(3.3.2)式对(3.3.1)式进行单边Z变换

$$\sum_{k=0}^N a_k z^{-k} [Y(z) + \sum_{l=-k}^{-1} y(l)z^{-l}] = \sum_{i=0}^M b_i X(z)z^{-i}, \quad a_0 = 1 \quad (3.3.3)$$

$$Y(z) = \frac{\sum_{i=0}^M b_i z^{-i}}{\sum_{k=0}^N a_k z^{-k}} X(z) - \frac{\sum_{k=0}^N a_k z^{-k} \sum_{l=-k}^{-1} y(l)z^{-l}}{\sum_{k=0}^N a_k z^{-k}}, \quad a_0 = 1$$

式中第一项为零状态解，第二项为零输入解

对Y(Z)做逆Z变换，得到**全响应** y(n)

3.3.1 差分方程的Z变换解

例3.3.1 已知系统差分方程 $y(n)=by(n-1)+x(n)$ ，式中 $x(n)=a_n u(n)$ ，初始条件 $y(-1)=2$ ，求系统全响应 $y(n)$

解：将已知差分方程进行单边Z变换

$$Y(z) = bz^{-1}Y(z) + by(-1) + X(z) \Rightarrow Y(z) = \frac{2b + X(z)}{1 - bz^{-1}}$$

式中， $X(z) = \frac{1}{1 - az^{-1}}$ ， $|z| > |a|$ 于是

$$Y(z) = \frac{2b}{1 - bz^{-1}} + \frac{1}{(1 - az^{-1})(1 - bz^{-1})}$$

收敛域为 $|z| > \max(|a|, |b|)$

3.3.1 差分方程的Z变换解

$$Y(z) = \frac{2b}{1-bz^{-1}} + \frac{1}{(1-az^{-1})(1-bz^{-1})}$$

收敛域为 $|z| > \max(|a|, |b|)$

$$\Rightarrow y(n) = 2b^{n+1} + \frac{1}{a-b}(a^{n+1} - b^{n+1}), n \geq 0$$

式中第一项为零输入解，第二项为零状态解
最终得

$$y(n) = [2b^{n+1} + \frac{1}{a-b}(a^{n+1} - b^{n+1})]u(n) + 2\delta(n+1)$$

3.3 离散时间LTI系统的频域分析

- 3.3.1 差分方程的Z变换解
- 3.3.2 离散时间LTI系统的频率响应
- 3.3.3 余弦型信号通过离散时间LTI系统的响应
- 3.3.4 离散时间LTI系统的稳态响应和暂态响应

3.3.2 离散时间LTI系统的频率响应



离散时间LTI系统的频率特性，可用系统的频率响应和系统函数进行分析

当系统的输入是频率为 ω 的复指数序列 $e^{j\omega n}$ 时，系统的零状态响应为

$$y(n) = e^{j\omega n} * h(n) = \sum_{m=-\infty}^{\infty} h(m)e^{j\omega(n-m)} = e^{j\omega n} H(e^{j\omega}) \quad (3.3.4)$$

频率响应

说明：复指数序列 $x(n)=e^{j\omega n}$ ，通过离散时间LTI系统后，输出序列的频率不变，幅度取决于系统的频率响应在 ω 处的幅值。所以 $|H(e^{j\omega})|$ 表示系统对不同频率信号的增益

3.3.2 离散时间LTI系统的频率响应



对任意序列 $x(n)$ ，可用复指数序列 $e^{j\omega n}$ 表示为

$$x(n) = \frac{1}{2\pi} \int_{-\pi}^{\pi} X(e^{j\omega}) e^{j\omega n} d\omega$$

其零状态响应为 $y(n) = T[x(n)] = \frac{1}{2\pi} \int_{-\pi}^{\pi} X(e^{j\omega}) T[e^{j\omega n}] d\omega$

$$= \frac{1}{2\pi} \int_{-\pi}^{\pi} X(e^{j\omega}) H(e^{j\omega}) e^{j\omega n} d\omega$$

时域卷积定理 $\Rightarrow Y(e^{j\omega}) = H(e^{j\omega}) X(e^{j\omega})$

3.3.2 离散时间LTI系统的频率响应

一般情况下，离散时间LTI系统的频率响应 $H(e^{j\omega})$ 是复值函数，可用幅度和相位表示为

$$H(e^{j\omega}) = \underbrace{|H(e^{j\omega})|}_{\text{幅频响应}} e^{j\underbrace{\phi(\omega)}_{\text{相频响应}}}$$

当 $h(n)$ 为实序列时，幅频响应是偶函数，相频响应是奇函数

3.3.2 离散时间LTI系统的频率响应



例3.3.2 试求序列 $x(n) = \sum_k C_k e^{jw_k n}$ ， C 为实常数，求通过离散时间LTI系统的响应并讨论

解：根据复指数序列的性质

$$\begin{aligned} y(n) &= \sum_k C_k H(e^{jw_k}) e^{jw_k n} = \sum_k C_k |H(e^{jw_k})| e^{j\phi(w_k)} e^{jw_k n} \\ &= \sum_k C_k |H(e^{jw_k})| e^{jw_k [n + \phi(w_k)/w_k]} \end{aligned}$$

$|H(e^{jw_k})|$ 是对信号中频率为 w_k 的信号分量的增益

幅频响应：有选择性保留有用的频率分量，而将其余频率分量衰减到近似为零，所以离散时间系统统称为**数字滤波器**

相频响应：不是常数，意味着不同频率分量会有不同的时间延迟，引起相位失真

3.3.2 离散时间LTI系统的频率响应



$$\begin{aligned} y(n) &= \sum_k C_k H(e^{j\omega_k}) e^{j\omega_k n} = \sum_k C_k |H(e^{j\omega_k})| e^{j\phi(\omega_k)} e^{j\omega_k n} \\ &= \sum_k C_k |H(e^{j\omega_k})| e^{j\omega_k [n + \phi(\omega_k)/\omega_k]} \end{aligned}$$

当 $\phi(\omega_k) = -\omega\tau$, τ 为常数时, 系统为线性相位系统, 对于线性相位系统, 输出可表示为

$$y(n) = \sum_k C_k |H(e^{j\omega_k})| e^{j\omega_k (n-\tau)}$$

此时, 不同频率分量的信号通过线性相位系统的延迟与信号的频率无关, 是一个常数, 近似为无失真传输系统

3.3 离散时间LTI系统的频域分析

- 3.3.1 差分方程的Z变换解
- 3.3.2 离散时间LTI系统的频率响应
- 3.3.3 余弦型信号通过离散时间LTI系统的响应
- 3.3.4 离散时间LTI系统的稳态响应和暂态响应

3.3.3 余弦型信号通过离散时间LTI系统的响应

设系统输入是频率为 ω 的余弦序列

$$x(n) = A \cos(\omega n + \theta) = \frac{A}{2} [e^{j(\omega n + \theta)} + e^{-j(\omega n + \theta)}] \quad (3.3.6)$$

根据复指数序列 通过离散时间LTI系统的响应，得输出

$$y(n) = \frac{A}{2} [H(e^{j\omega}) e^{j(\omega n + \theta)} + H(e^{-j\omega}) e^{-j(\omega n + \theta)}] \quad (3.3.7)$$

当 $h(n)$ 为实序列时，由DTFT的对称性 $H(e^{j\omega}) = H^*(e^{-j\omega})$

得 $H(e^{j\omega}) = |H(e^{j\omega})| e^{j\phi(\omega)}$ $H(e^{-j\omega}) = |H(e^{j\omega})| e^{-j\phi(\omega)}$ 代入(3.3.7)得

$$\begin{aligned} y(n) &= \frac{A}{2} |H(e^{j\omega})| [e^{j\phi(\omega)} e^{j(\omega n + \theta)} + (e^{j\phi(-\omega)} e^{-j(\omega n + \theta)})] \\ &= \frac{A}{2} |H(e^{j\omega})| [e^{j[\omega n + \phi(\omega) + \theta]} + (e^{j[\omega n + \phi(\omega) + \theta]})^*] \\ &= A |H(e^{j\omega})| \cos[\omega n + \phi(\omega) + \theta] \end{aligned}$$

3.3.3 余弦型信号通过离散时间LTI系统的响应



$$\text{即 } y(n) = A |H(e^{j\omega})| \cos[\omega(n + \phi(\omega) / \omega) + \theta] \quad (3.3.8)$$

类似的，当系统输入为 $x(n) = A \sin(\omega n + \theta)$

当 $h(n)$ 为实序列时，可得输出为

$$\begin{aligned} y(n) &= A |H(e^{j\omega})| \sin[\omega n + \phi(\omega) + \theta] \\ &= A |H(e^{j\omega})| \sin[\omega(n + \phi(\omega) / \omega) + \theta] \end{aligned} \quad (3.3.9)$$

相位延迟(phase delay)定义为 $\tau_p(\omega) = -\frac{\phi(\omega)}{\omega} \quad (3.3.10)$

如果相位延迟是 ω 的函数，则不同的频率分量延迟不同，因此会产生失真

3.3 离散时间LTI系统的频域分析

- 3.3.1 差分方程的Z变换解
- 3.3.2 离散时间LTI系统的频率响应
- 3.3.3 余弦型信号通过离散时间LTI系统的响应
- 3.3.4 离散时间LTI系统的稳态响应和暂态响应

3.3.4 离散时间LTI系统的稳态响应和暂态响应

如果输入序列 $x(n)$ 是在 $n=-\infty$ 时加上的， n 时刻的 $y(n)$ 是稳态解，其中暂态项都将消失

如果输入序列 $x(n)$ 是在 $n=0$ 时加上的，则系统的全响应中包含稳态解和暂态解，其中暂态项随着时间的增长也将消失

考虑输入序列 $x(n)=e^{j\omega n}u(n)$ ，则系统的输出序列为

$$\begin{aligned} y(n) &= \sum_{m=-\infty}^{\infty} h(m)e^{j\omega(n-m)}u(n-m) = \left[\sum_{m=-\infty}^n h(m)e^{-j\omega m} \right] e^{j\omega n} \\ &= \left[\sum_{m=-\infty}^{\infty} h(m)e^{-j\omega m} \right] e^{j\omega n} - \left[\sum_{m=n+1}^{\infty} h(m)e^{-j\omega m} \right] e^{j\omega n} \\ &= H(e^{j\omega})e^{j\omega n} - \left[\sum_{m=n+1}^{\infty} h(m)e^{-j\omega m} \right] e^{j\omega n} \end{aligned} \quad (3.3.11)$$

3.3.4 离散时间LTI系统的稳态响应和暂态响应

稳态响应 $y_{sr}(n) = H(e^{j\omega})e^{j\omega n}$

暂态响应 $y_{tr}(n) = -[\sum_{m=n+1}^{\infty} h(m)e^{-j\omega m}]e^{j\omega n}$

对于稳定系统， $h(n)$ 绝对可和，当 $n \rightarrow \infty$ 时，则

$$|y_{tr}(n)| = \left| \sum_{m=n+1}^{\infty} h(m)e^{-j\omega m} \right| \leq \left| \sum_{m=n+1}^{\infty} h(m) \right| \rightarrow 0$$

对于 $h(n)$ 是长度为 N 的FIR系统的单位脉冲响应，即 $h(n)$ 只在 $[0, N-1]$ 区间有非零值，则当 $n > N-1$ 时，暂态响应将为零，系统达到稳定

第3章 离散时间信号和系统的频域分析



◆ 3.1 离散时间信号的傅里叶变换 (DTFT)

- 序列的离散时间傅里叶变换
- 序列的离散时间傅里叶变换的性质
- 基本序列的离散时间傅里叶变换

◆ 3.2 离散时间信号的Z域分析

◆ 3.3 离散时间LTI系统的频域分析

◆ 3.4 离散时间LTI系统的Z域分析

3.4 离散时间LTI系统的z域分析



3.4.1 离散时间LTI系统的系统函数

3.4.2 离散时间LTI系统的差分方程与系统函数

3.4.3 系统函数的极点分布与系统因果性和稳定性的关系

3.4.4 系统函数的零极点分布对系统频率响应特性的影响

3.4.1 离散时间LTI系统的系统函数

设系统初始状态为零，输入为单位脉冲序列 $\delta(n)$ ，输出端的响应称为**系统的单位脉冲响应** $h(n)$ ，对 $h(n)$ 进行离散时间傅里叶变换得到 $H(e^{j\omega})$

$H(e^{j\omega})$ 为系统的**传输函数**，它表征系统的**实频域**特性。

设 $h(n)$ 进行Z变换，得到 $H(z)$ ，一般称 $H(z)$ 为系统的**系统函数**，它表征了系统的**复频域**特性

$$y(n) = x(n) * h(n) \Rightarrow Y(z) = X(z)H(z)$$

$$H(z) = ZT[h(n)] = \frac{Y(z)}{X(z)} \quad (3.4.1)$$

如果 $H(z)$ 的**收敛域包含单位圆** $|z|=1$,

$$H(e^{j\omega}) = H(z) \Big|_{z=e^{j\omega}} \quad (3.4.2)$$

3.4 离散时间LTI系统的z域分析



3.4.1 离散时间LTI系统的系统函数

3.4.2 离散时间LTI系统的差分方程与系统函数

3.4.3 系统函数的极点分布与系统因果性和稳定性的关系

3.4.4 系统函数的零极点分布对系统频率响应特性的影响

3.4.2 离散时间LTI系统的差分方程与系统函数

设 N 阶线性常系数差方程为

$$\sum_{k=0}^N a_k y(n-k) = \sum_{i=0}^M b_i x(n-i), \quad a_0 = 1$$

双边 Z 变换

$$\Rightarrow H(z) = \frac{Y(z)}{X(z)} = \frac{\sum_{i=0}^M b_i z^{-i}}{1 + \sum_{k=1}^N a_k z^{-k}}$$

$H(z)$ 还可写成

$$H(z) = z^{N-M} \frac{b_0 z^M + b_1 z^{M-1} + \cdots + b_M}{z^N + a_1 z^{N-1} + \cdots + a_N} = b_0 z^{N-M} \frac{\prod_{i=1}^M (z - z_i)}{\prod_{k=1}^N (z - p_k)}$$

零点和极点

3.4 离散时间LTI系统的z域分析



3.4.1 离散时间LTI系统的系统函数

3.4.2 离散时间LTI系统的差分方程与系统函数

3.4.3 系统函数的极点分布与系统因果性和稳定性的关系

3.4.4 系统函数的零极点分布对系统频率响应特性的影响

3.4.3 系统函数的极点分布与系统因果性和稳定性的关系

- **因果(可实现)系统**: 其单位脉响应 $h(n)$ 一定满足当 $n < 0$ 时, $h(n)=0$, $h(n)$ 是右边序列, 其**收敛域在某个圆外**, **收敛域包含 ∞ 点**, 又因为收敛域不包含极点, 所以 ∞ 点不是极点
- **系统稳定**: 要求 $\sum_{n=-\infty}^{\infty} |h(n)| < \infty$, 即 $h(n)$ 绝对可和, $h(n)$ 的DTFT存在, DTFT存在时, Z变换的**收敛域包含单位圆**。如果系统因果且稳定, 收敛域包含 ∞ 点和单位圆, 那么收敛域可表示为

$$r < |z| \leq \infty, \quad 0 < r < 1$$

因果稳定系统的系统函数的所有极点一定分布在单位圆内

3.4.3 系统函数的极点分布与系统因果性和稳定性的关系

例 3.4.1 已知 $H(z) = \frac{1-a^2}{(1-az^{-1})(1-az)}$, $0 < a < 1$ 分析其因果性和稳定性

解: $H(z)$ 的极点为 $z=a$, $z=a^{-1}$, $a^{-1} > 1$, $a < 1$, $a < a^{-1}$

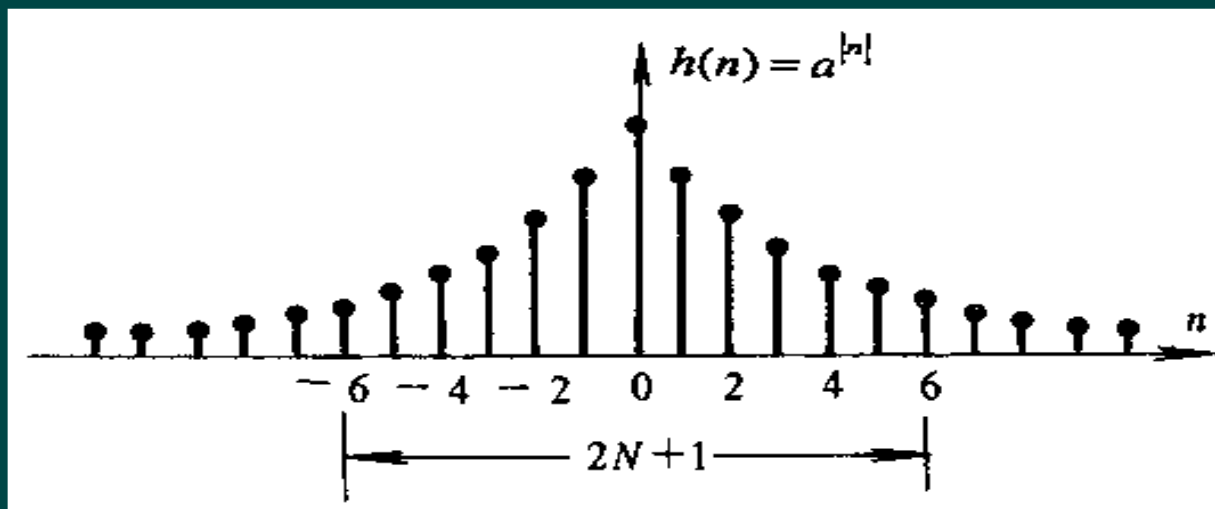
(1) 收敛域 $a^{-1} < |z| \leq \infty$, 因为收敛域包含 ∞ 点, 对应的系统是因果系统; 因为收敛域不包含单位圆, 因此是不稳定系统。

单位脉冲响应 $h(n) = (a^n - a^{-n})u(n)$ 是一个因果序列, 但不收敛

(2) 收敛域 $0 \leq |z| < a$, 因为收敛域不包含 ∞ 点和单位圆, 对应的系统非因果且不稳定, 其单位脉冲响应 $h(n) = (a^{-n} - a^n)u(-n-1)$, 是一个非因果且不收敛的序列

3.4.3 系统函数的极点分布与系统因果性和稳定性的关系

- (3) **收敛域** $a < |z| < a^{-1}$ ，因为收敛域不包含 ∞ 点，对应的系统是一个非因果系统，但由于收敛域包含单位圆，因此是稳定系统。其单位脉冲响应 $h(n)=a^{|n|}$ ，这是一个收敛的双边序列，如下图所示



3.4 离散时间LTI系统的z域分析



3.4.1 离散时间LTI系统的系统函数

3.4.2 离散时间LTI系统的差分方程与系统函数

3.4.3 系统函数的极点分布与系统因果性和稳定性的关系

3.4.4 系统函数的零极点分布对系统频率响应特性的影响

3.4.4 系统函数的零极点分布对系统频率响应特性的影响

$$H(z) = \frac{Y(z)}{X(z)} = \frac{\sum_{i=0}^M b_i z^{-i}}{\sum_{k=0}^N a_k z^{-k}} = A \frac{\prod_{r=1}^M (1 - c_r z^{-1})}{\prod_{r=1}^N (1 - d_r z^{-1})} \quad (3.4.3)$$

式中 $A=b_0/a_0$ ，上式中 c_r 是 $H(z)$ 的零点， d_r 是其极点

➤ A 参数影响传输函数的幅度大小

➤ 影响系统特性的是零点 c_r 和极点 d_r 的分布

➤ 优点：可采用实用的几何方法研究系统零极点分布对系统频率特性的影响

将(3.4.3)式分子分母同乘以 z^{N+M} ，得到

3.4.4 系统函数的零极点分布对系统频率响应特性的影响

$$H(z) = Az^{N-M} \frac{\prod_{r=1}^M (z - c_r)}{\prod_{r=1}^N (z - d_r)}$$

设系统稳定，即收敛域包含单位圆，其DTFT存在，将 $z=e^{j\omega}$ 代入得传输函数

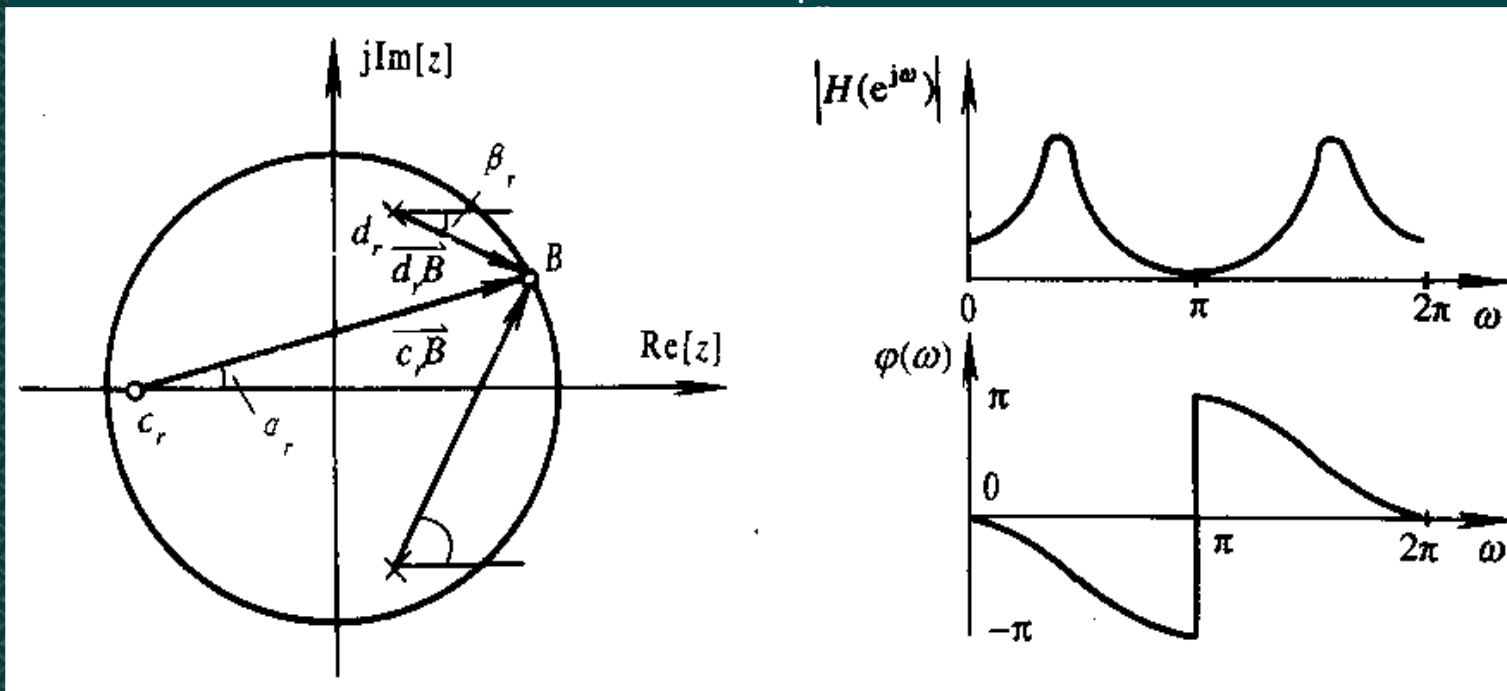
$$H(e^{j\omega}) = Ae^{j\omega(N-M)} \frac{\prod_{r=1}^M (e^{j\omega} - c_r)}{\prod_{r=1}^N (e^{j\omega} - d_r)} \quad (3.4.4)$$

设 $N=M$ ，则上式写成

$$H(e^{j\omega}) = A \frac{\prod_{r=1}^M (e^{j\omega} - c_r)}{\prod_{r=1}^N (e^{j\omega} - d_r)} \quad (3.4.5)$$

3.4.4 系统函数的零极点分布对系统频率响应特性的影响

在 z 平面上, $e^{j\omega}-c_r$ 用一根由零点 c_r 指向单位圆上 $e^{j\omega}$ 点 B 的向量 $\overrightarrow{c_r B}$ 表示, 同样 $e^{j\omega}-d_r$ 用内极点指向 $e^{j\omega}$ 点 B 的向量 $\overrightarrow{d_r B}$ 表示, 如下图所示

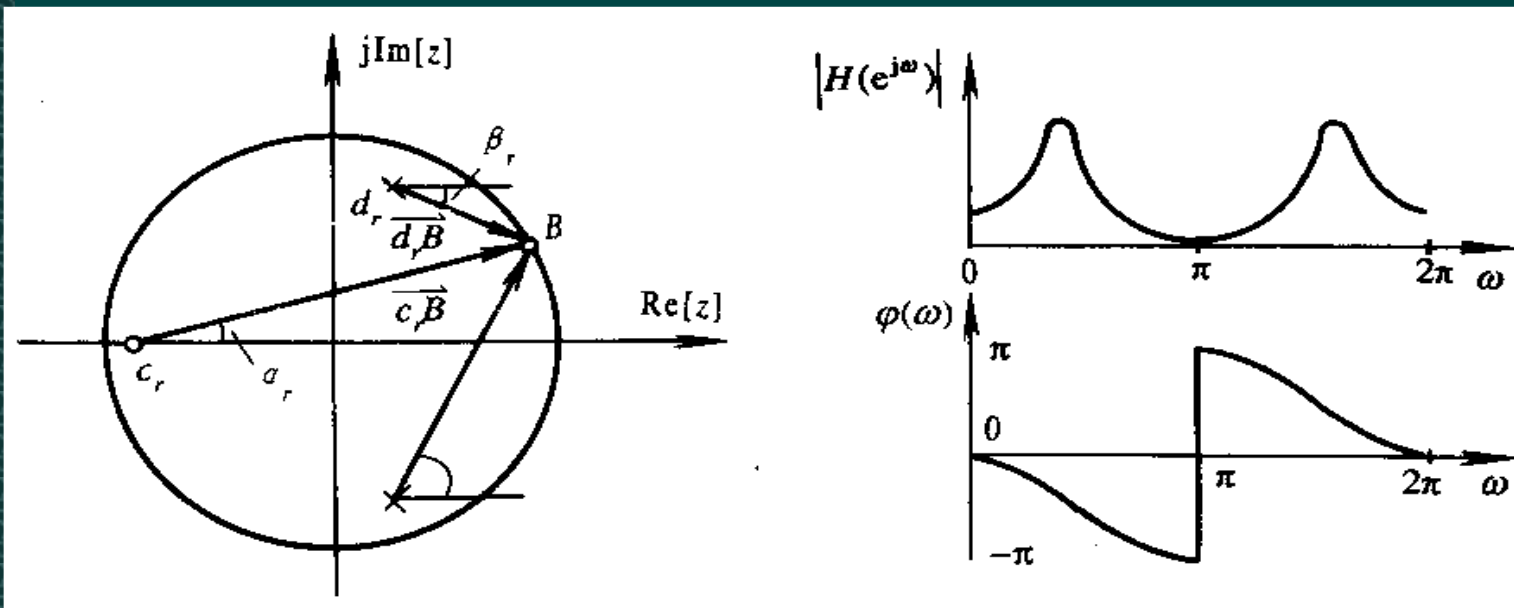


3.4.4 系统函数的零极点分布对系统频率响应特性的影响

$$H(e^{j\omega}) = A \frac{\prod_{r=1}^N \overrightarrow{c_r B}}{\prod_{r=1}^N \overrightarrow{d_r B}} = |H(e^{j\omega})| e^{j\varphi(\omega)}$$

$$|H(e^{j\omega})| = A \frac{\prod_{r=1}^N c_r B}{\prod_{r=1}^N d_r B} \quad (3.4.6)$$

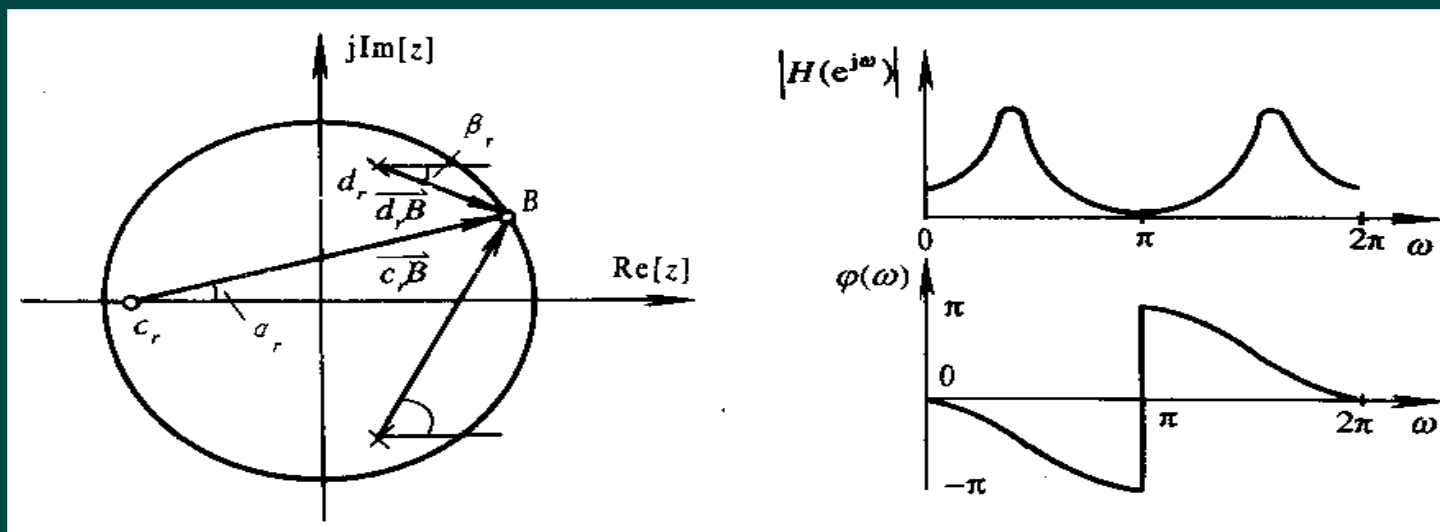
$$\varphi(\omega) = \sum_{r=1}^N \alpha_r - \sum_{r=1}^N \beta_r \quad (3.4.7)$$



3.4.4 系统函数的零极点分布对系统频率响应特性的影响

下图示出了具有一个零点和二个极点的频率特性

- 观察峰值和谷值（幅频特性）：
极点影响峰值位置及尖锐性；零点影响谷值位置及谷深
- 因果性
- 稳定性



频响的几何表示法

谢 谢 关 注！